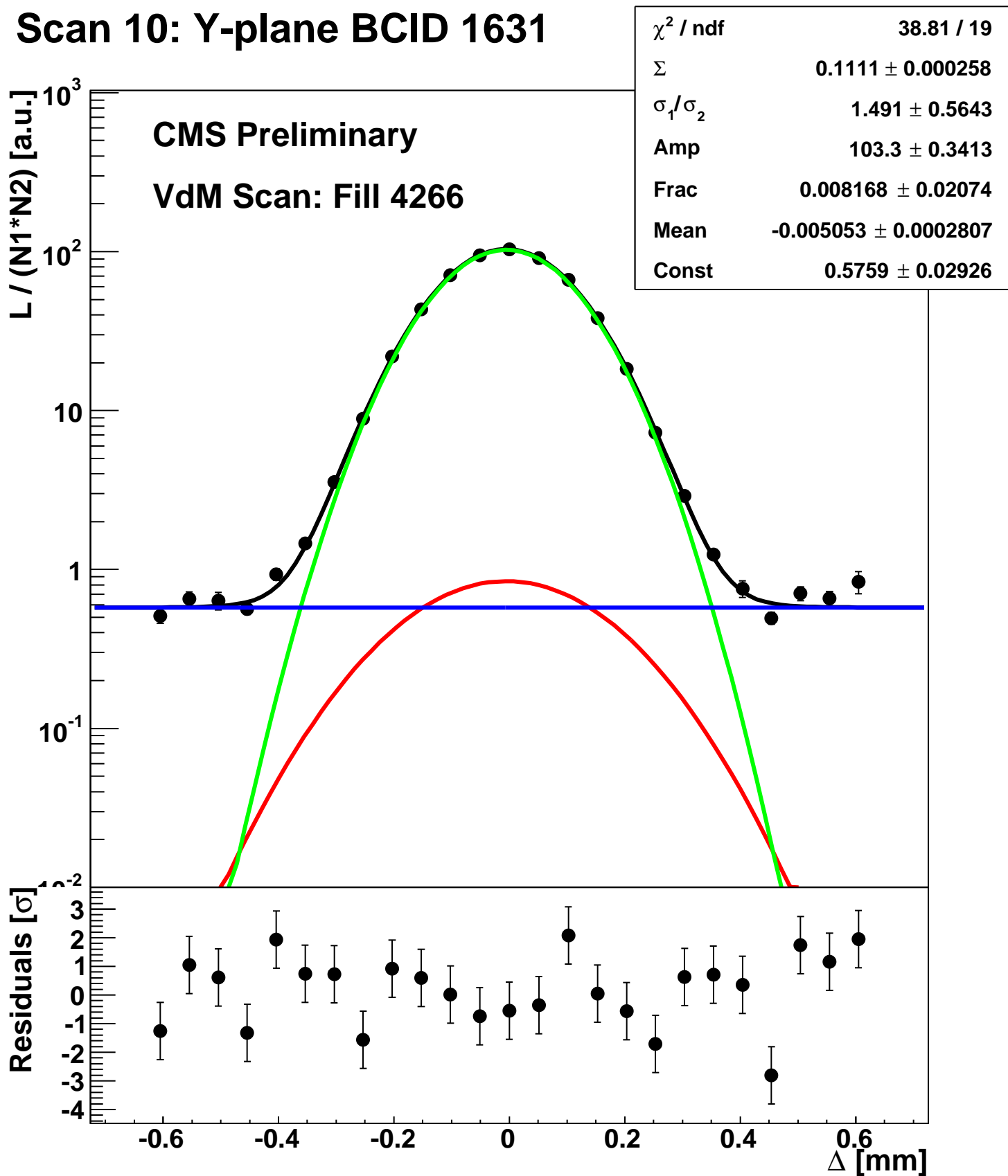
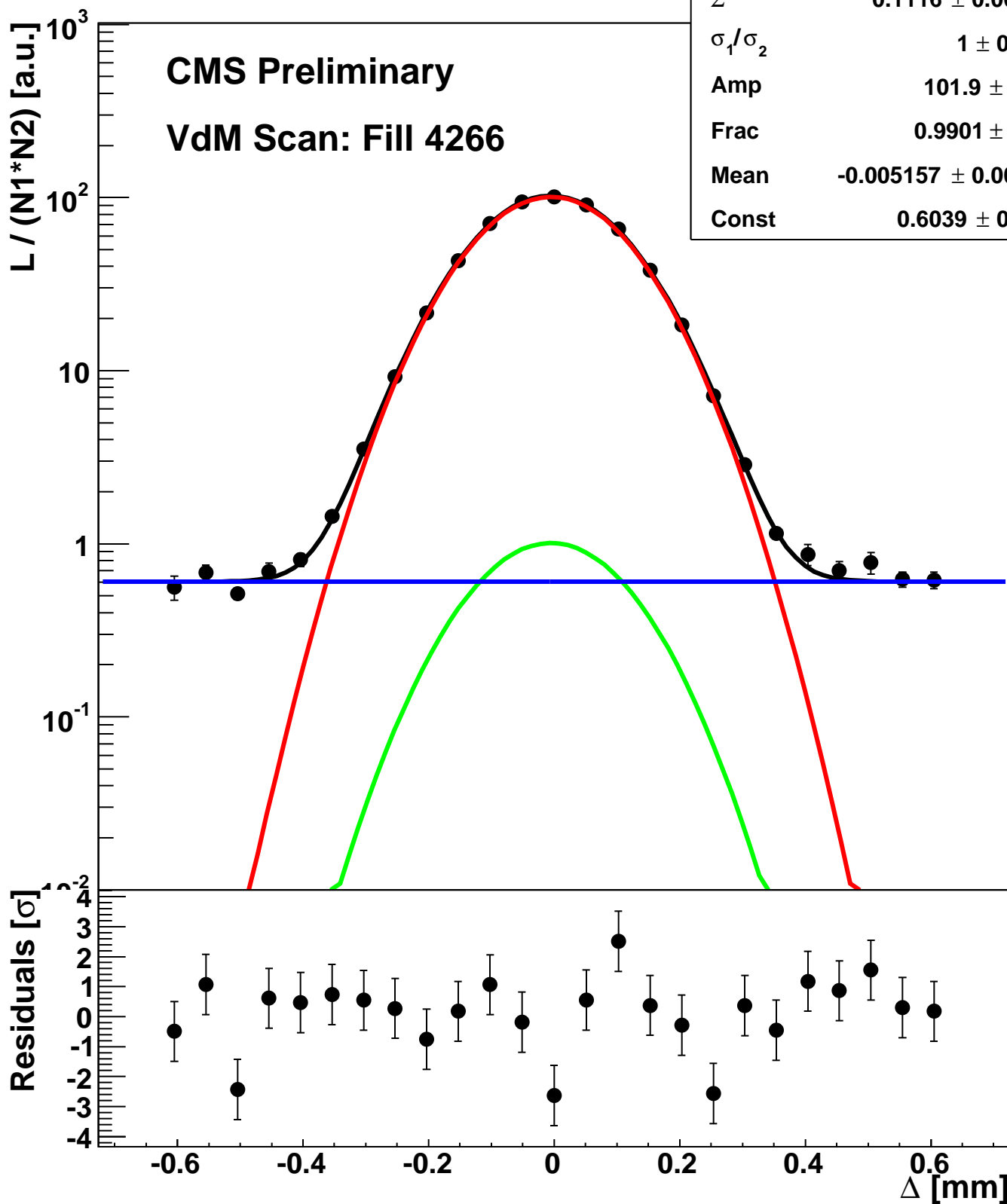


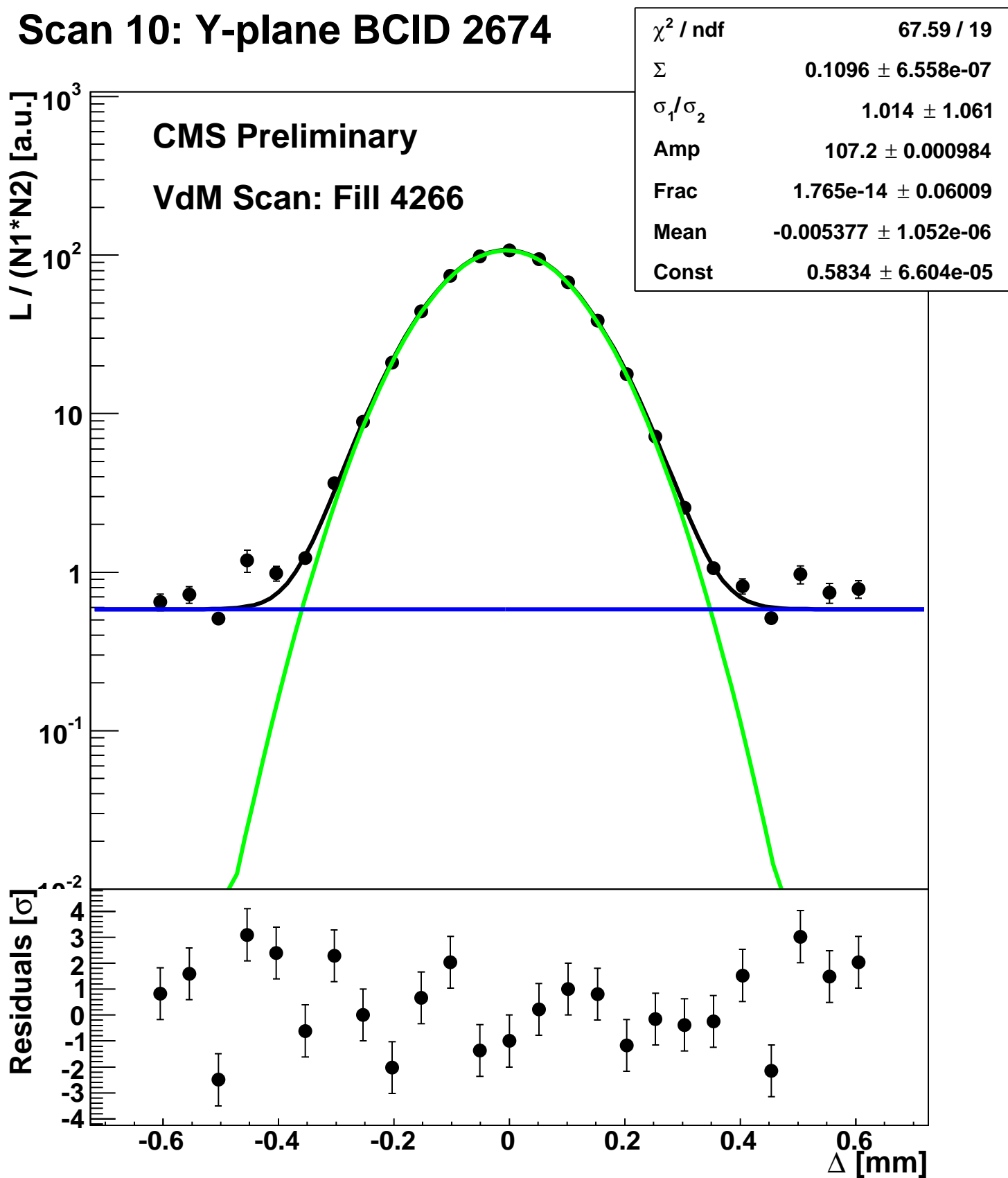
Scan 10: Y-plane BCID 1631



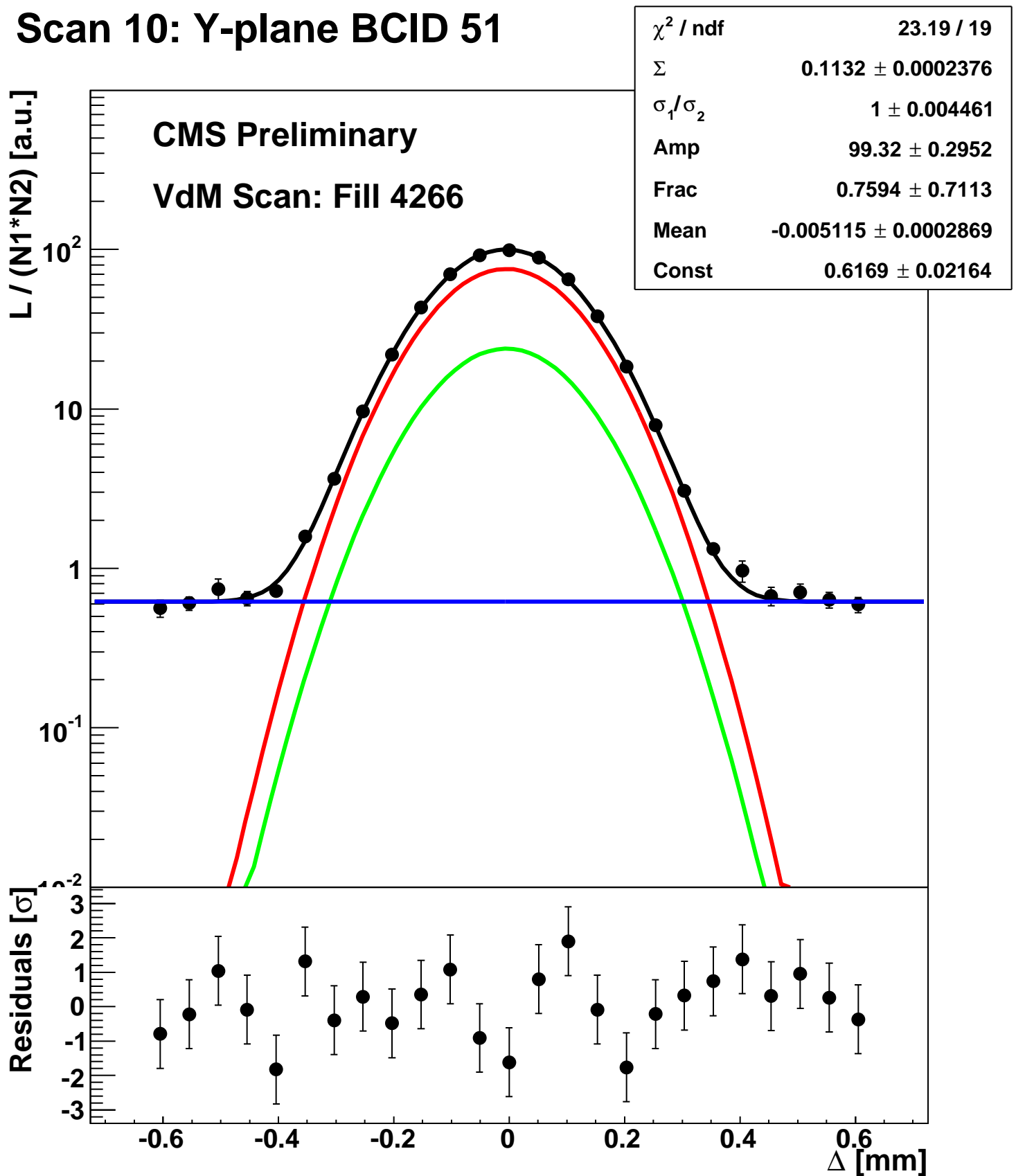
Scan 10: Y-plane BCID 2211



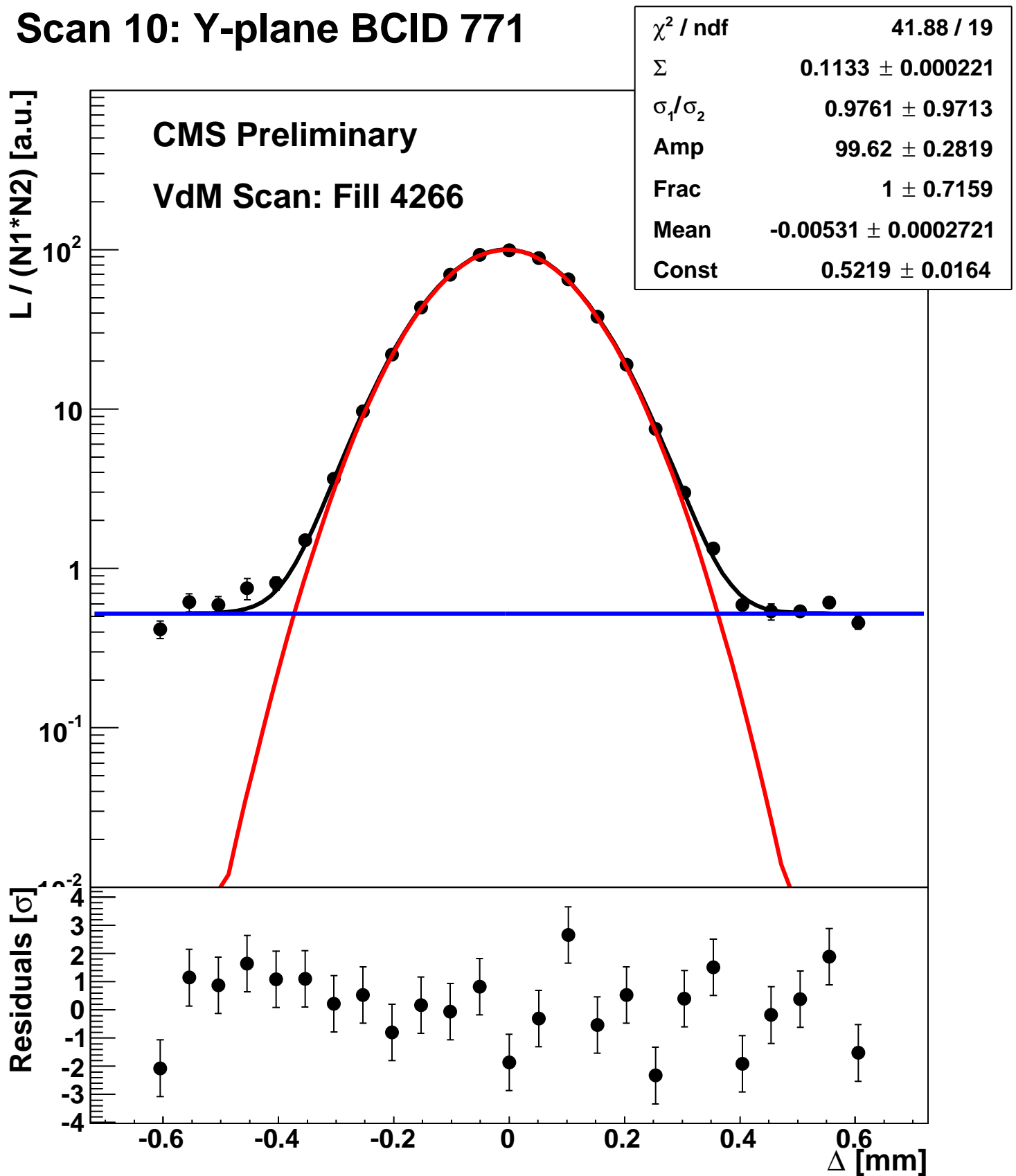
Scan 10: Y-plane BCID 2674



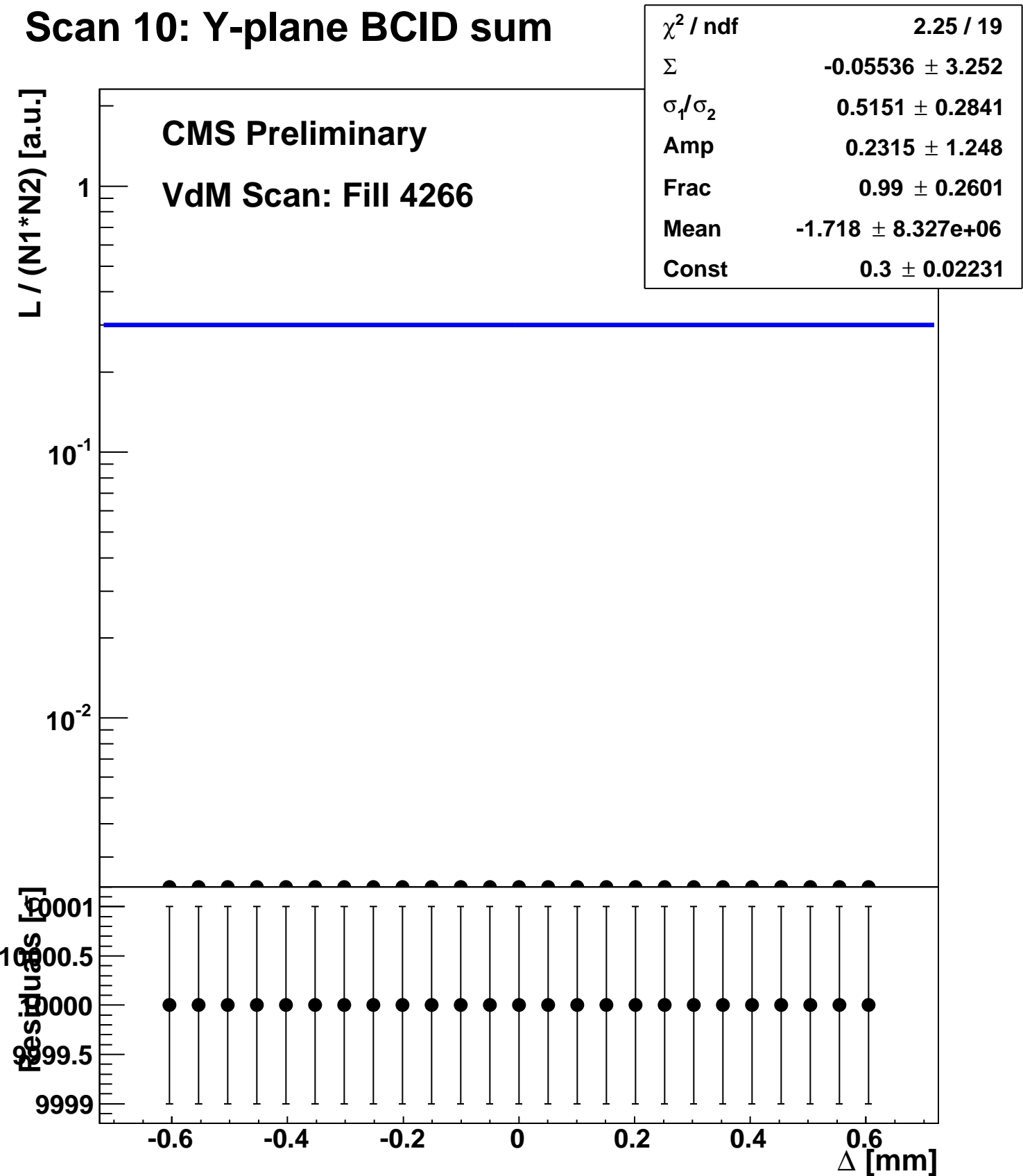
Scan 10: Y-plane BCID 51



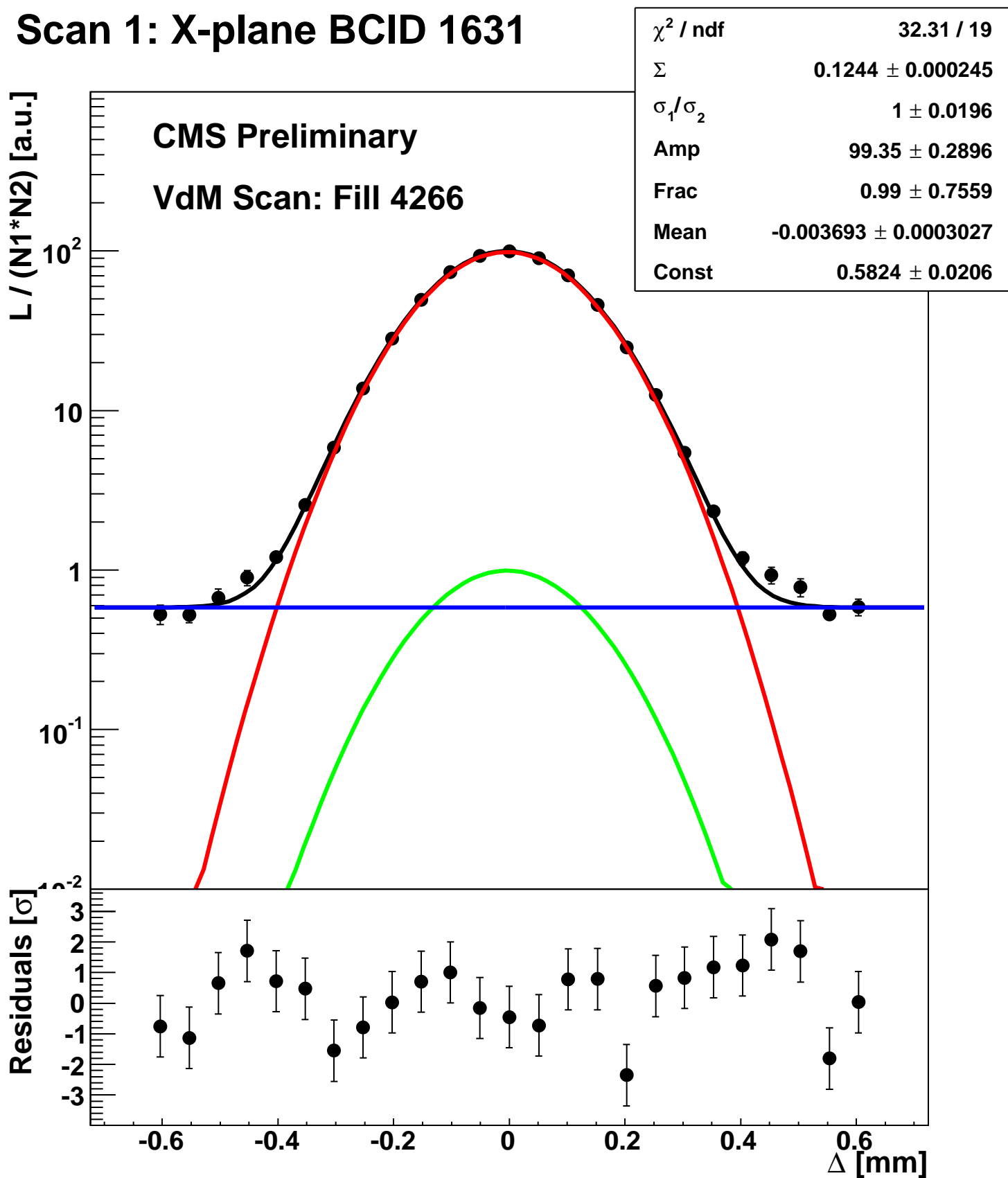
Scan 10: Y-plane BCID 771



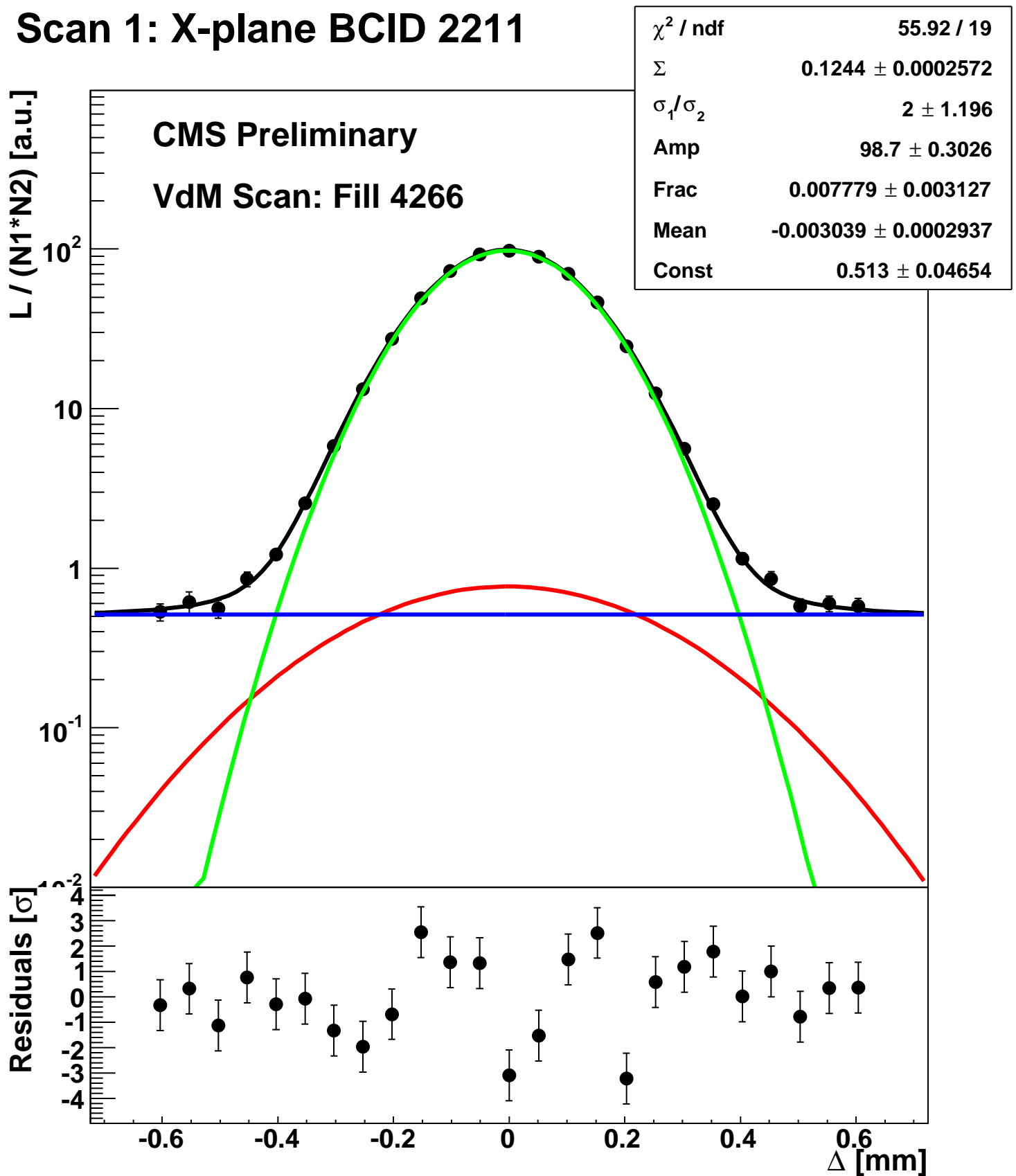
Scan 10: Y-plane BCID sum



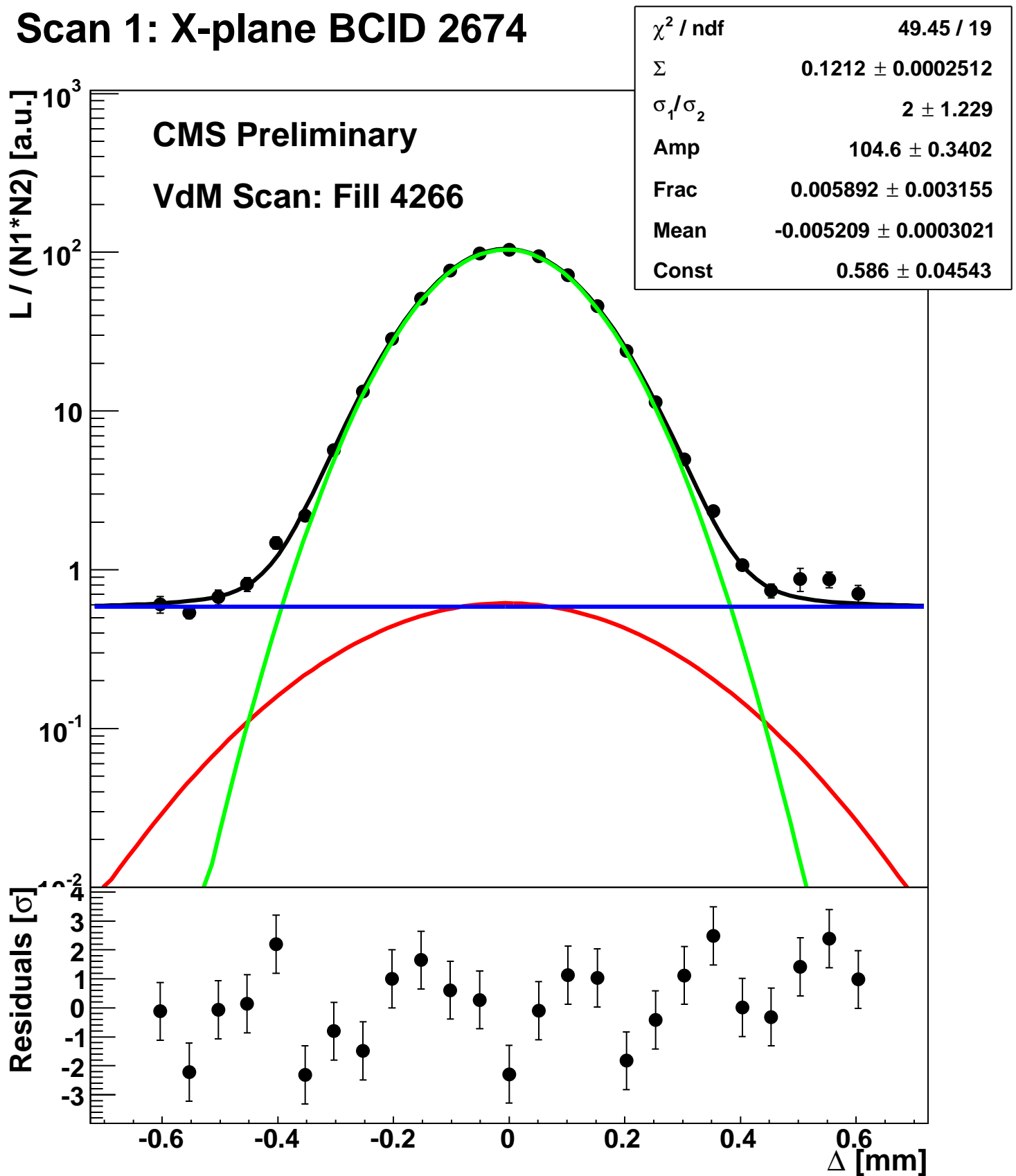
Scan 1: X-plane BCID 1631



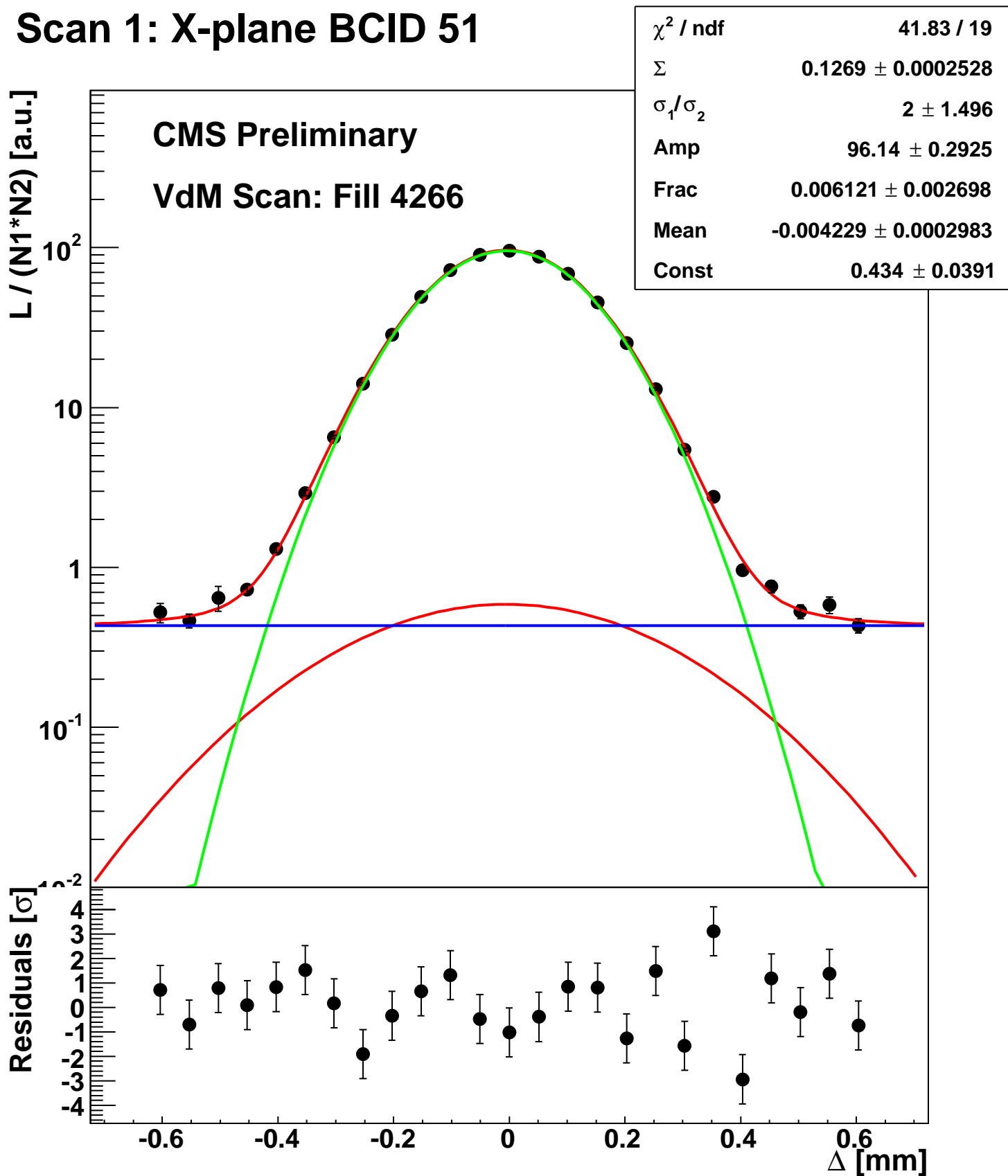
Scan 1: X-plane BCID 2211



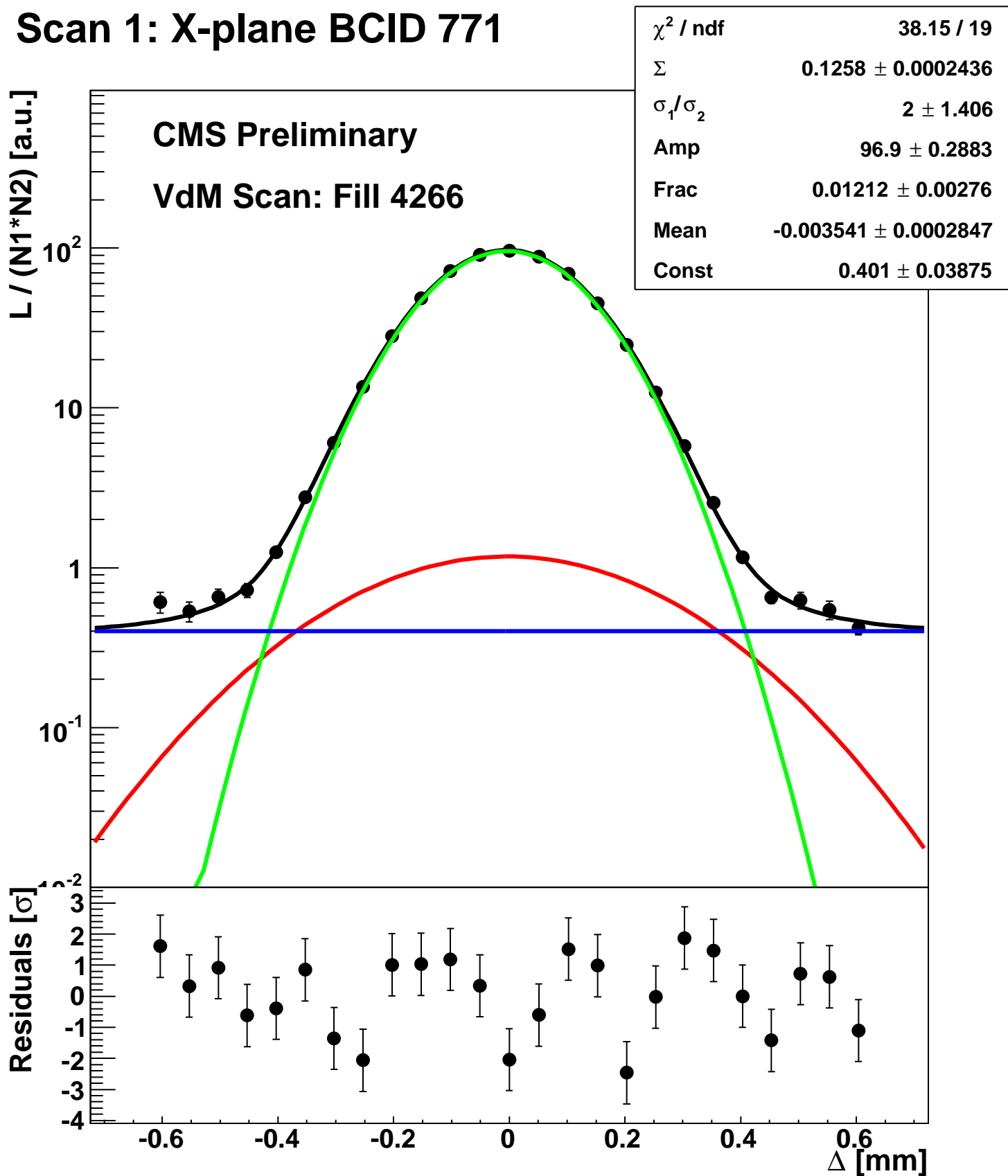
Scan 1: X-plane BCID 2674



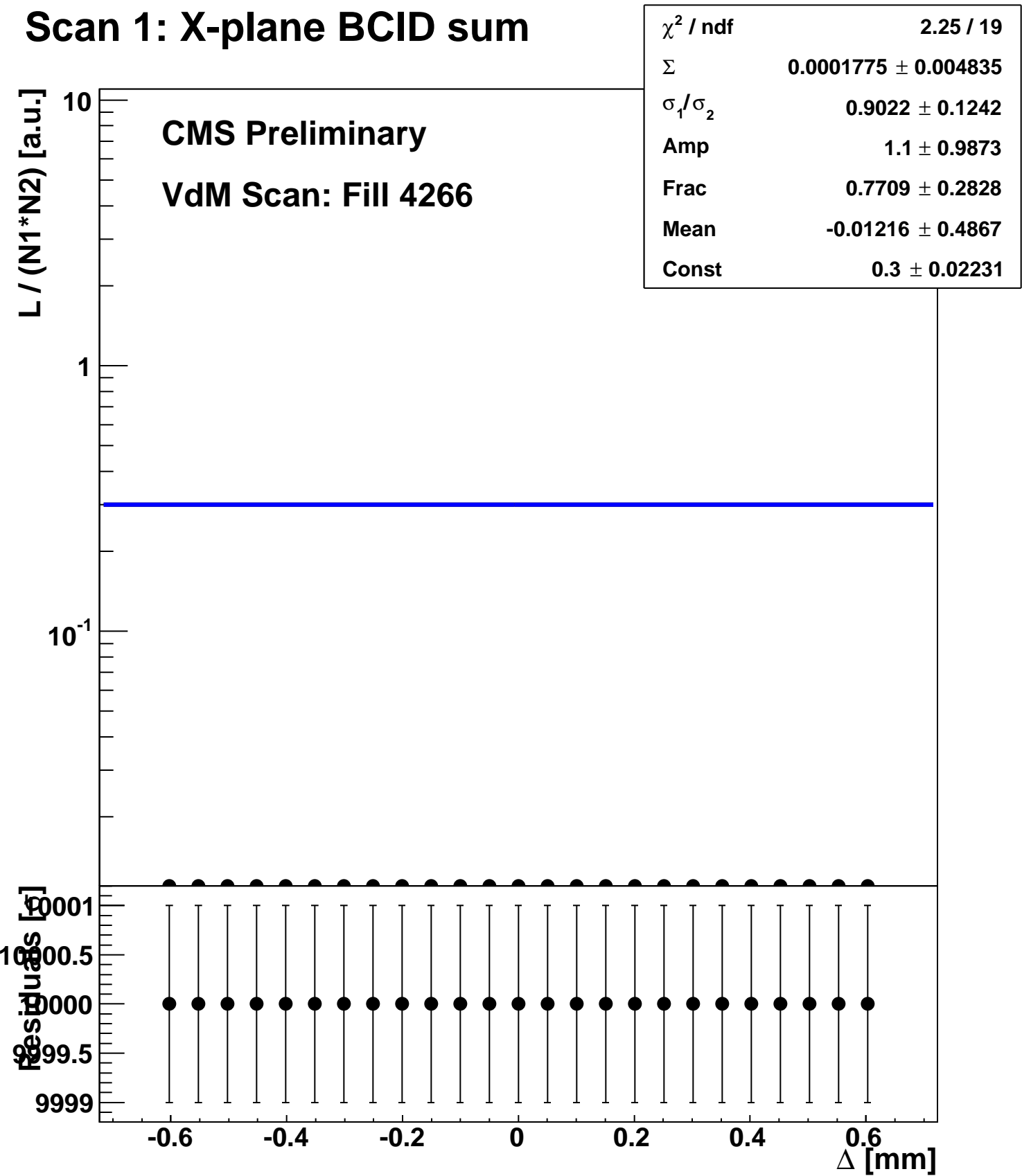
Scan 1: X-plane BCID 51



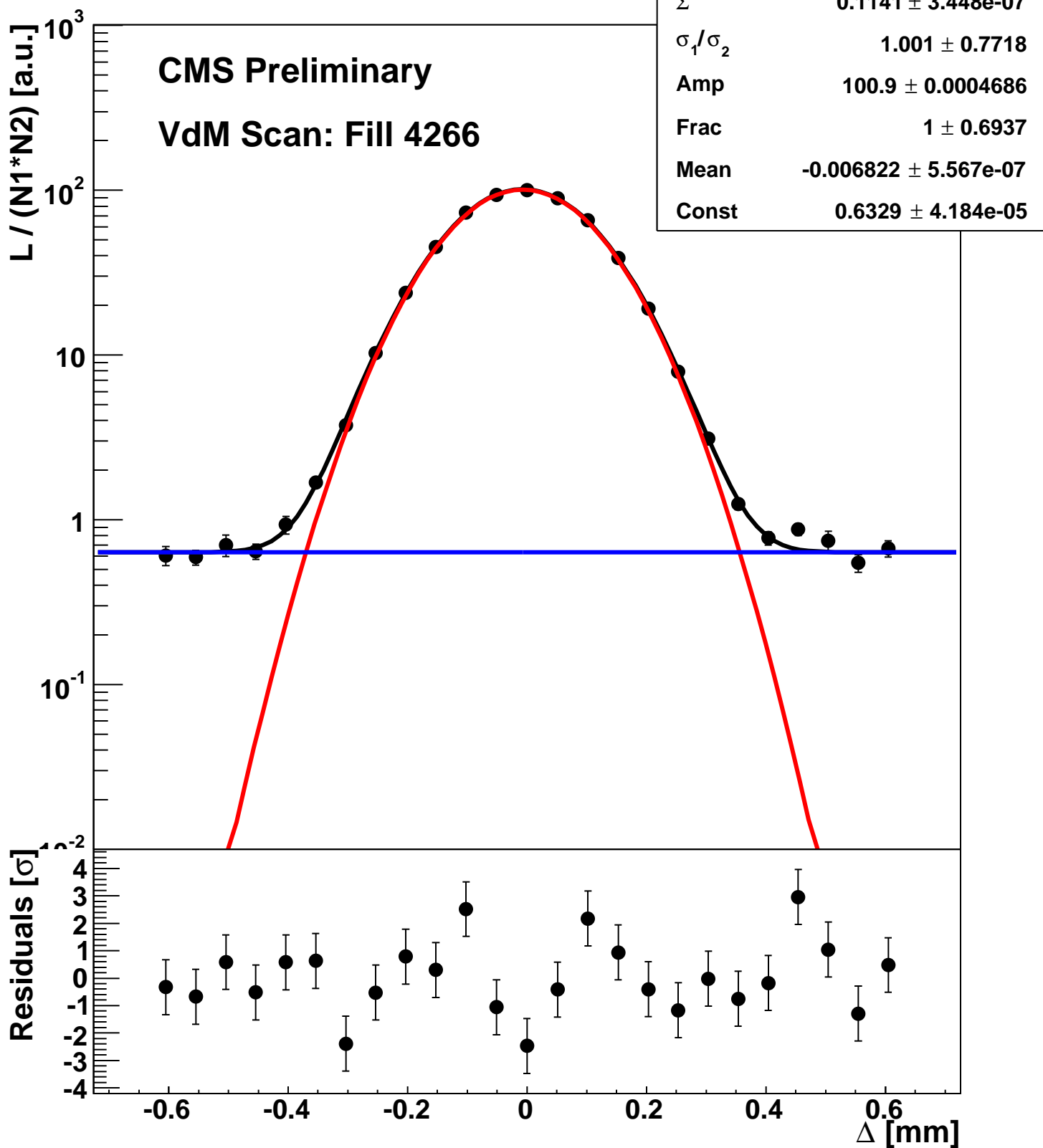
Scan 1: X-plane BCID 771



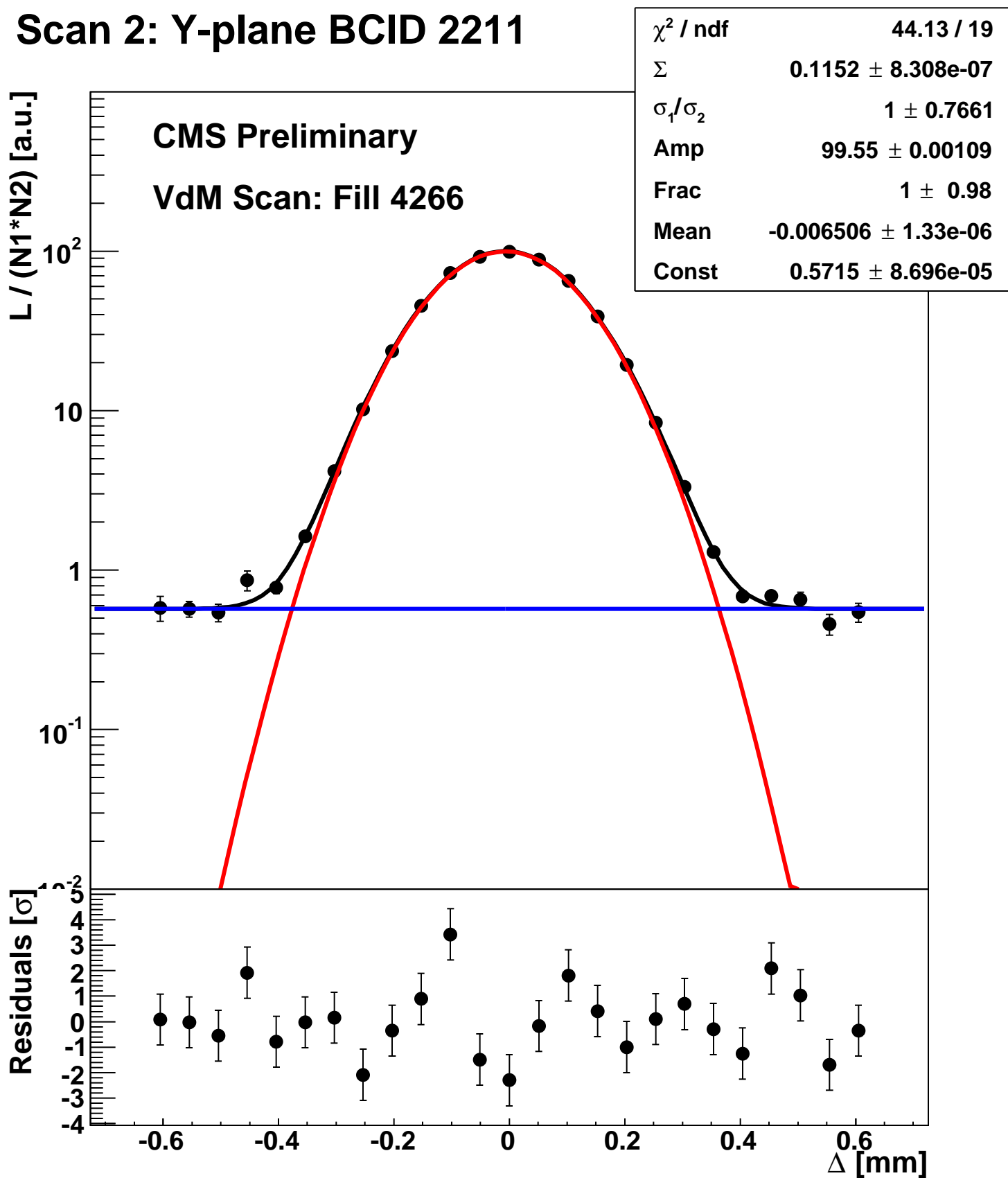
Scan 1: X-plane BCID sum



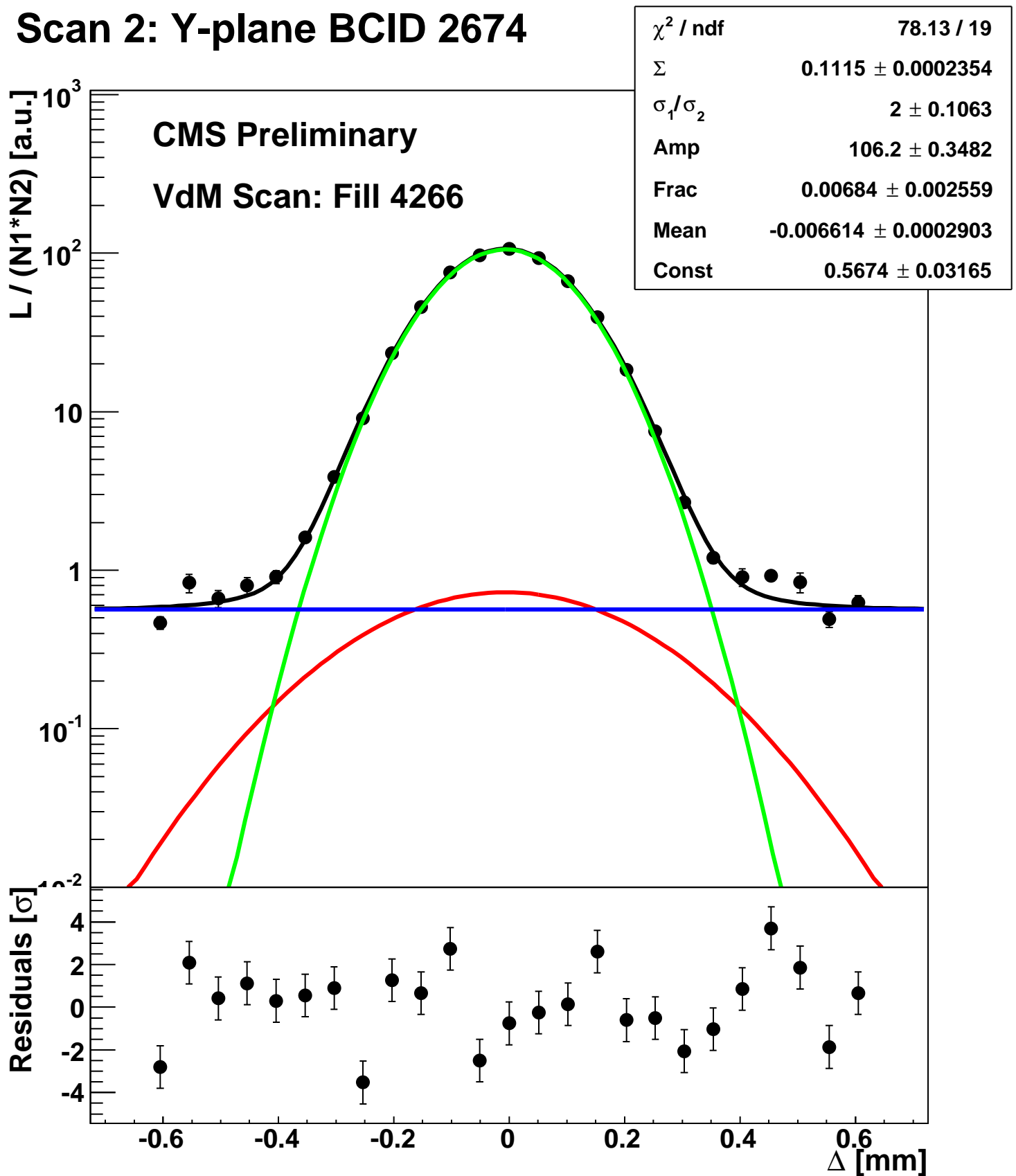
Scan 2: Y-plane BCID 1631



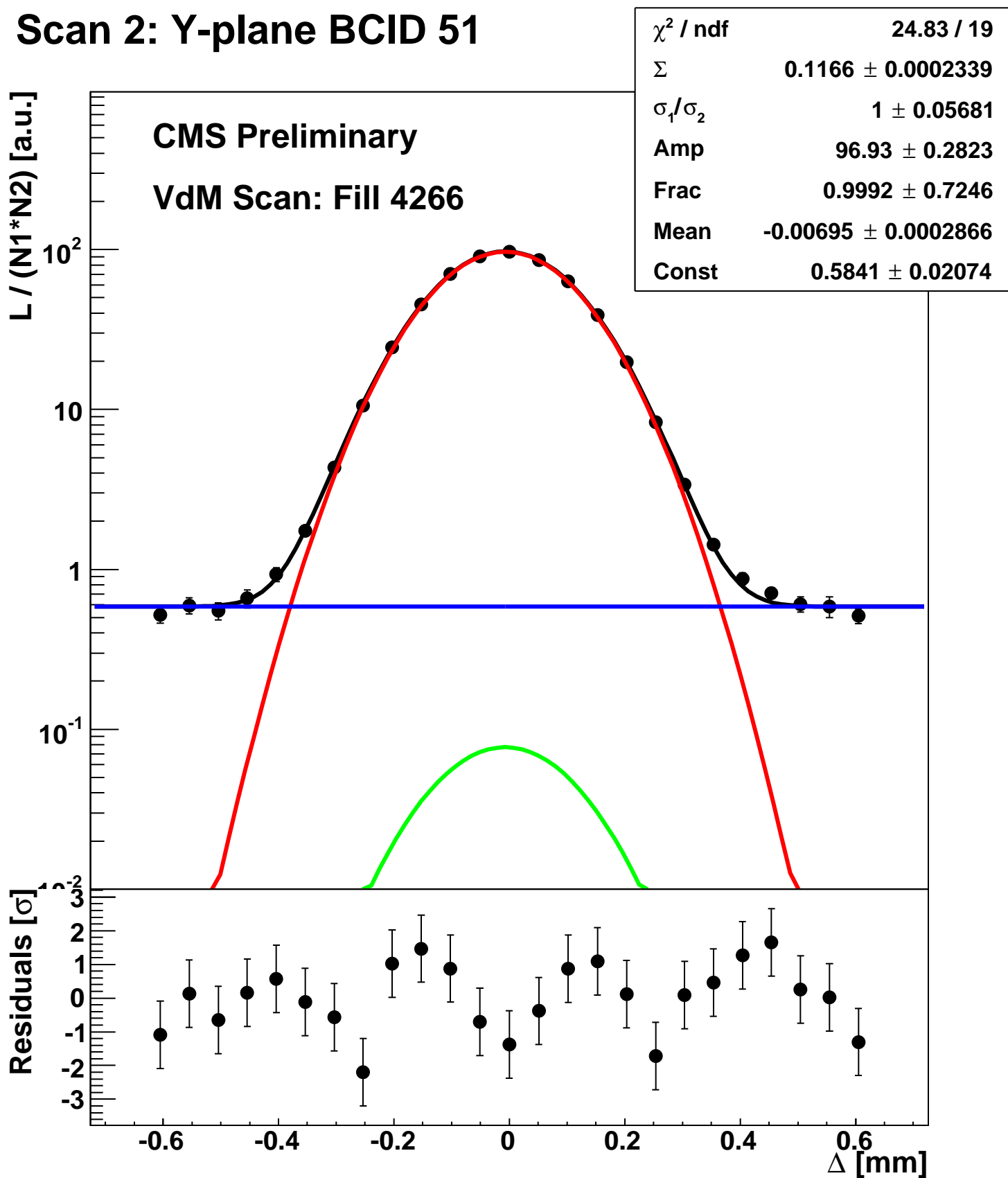
Scan 2: Y-plane BCID 2211



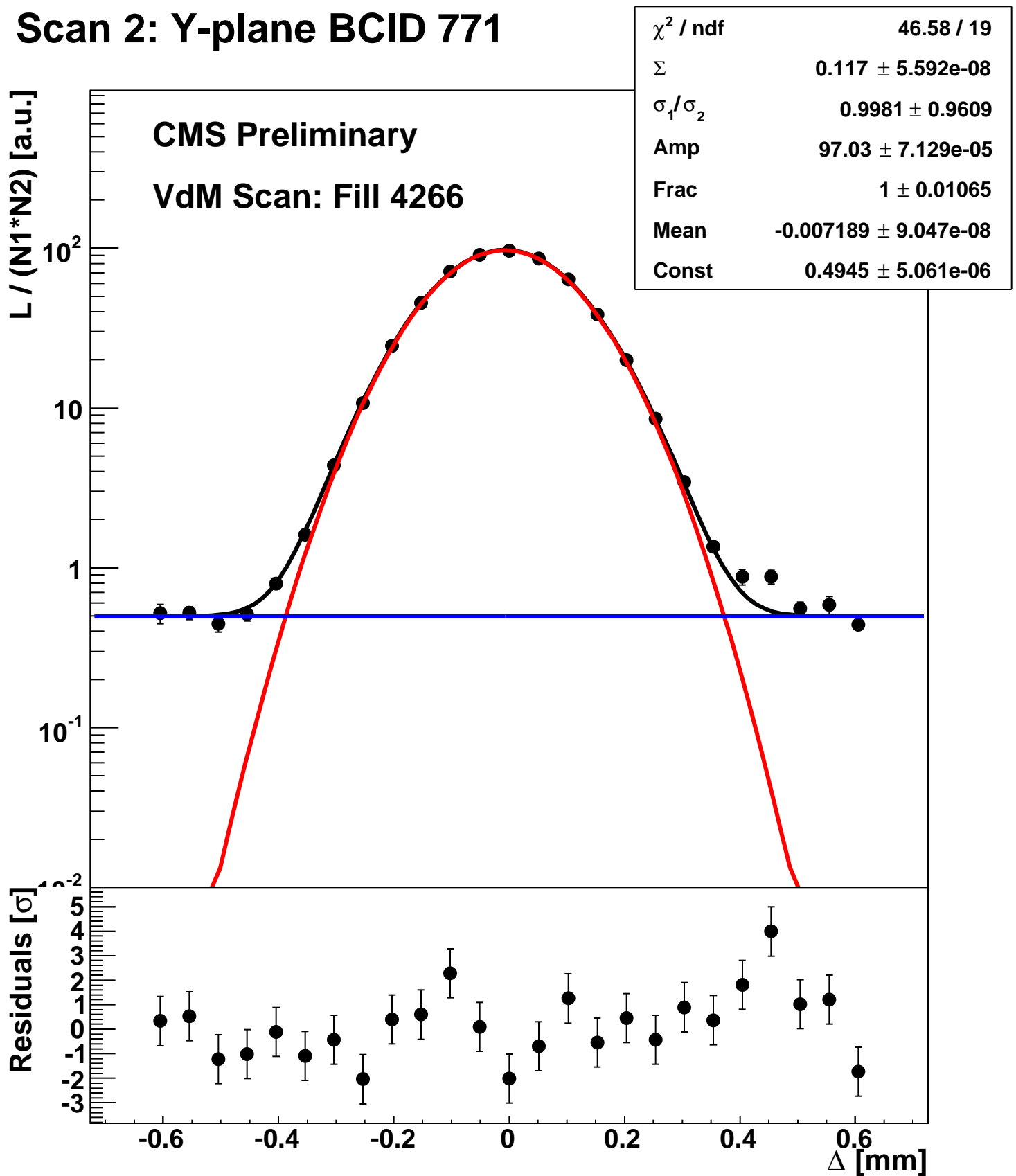
Scan 2: Y-plane BCID 2674



Scan 2: Y-plane BCID 51

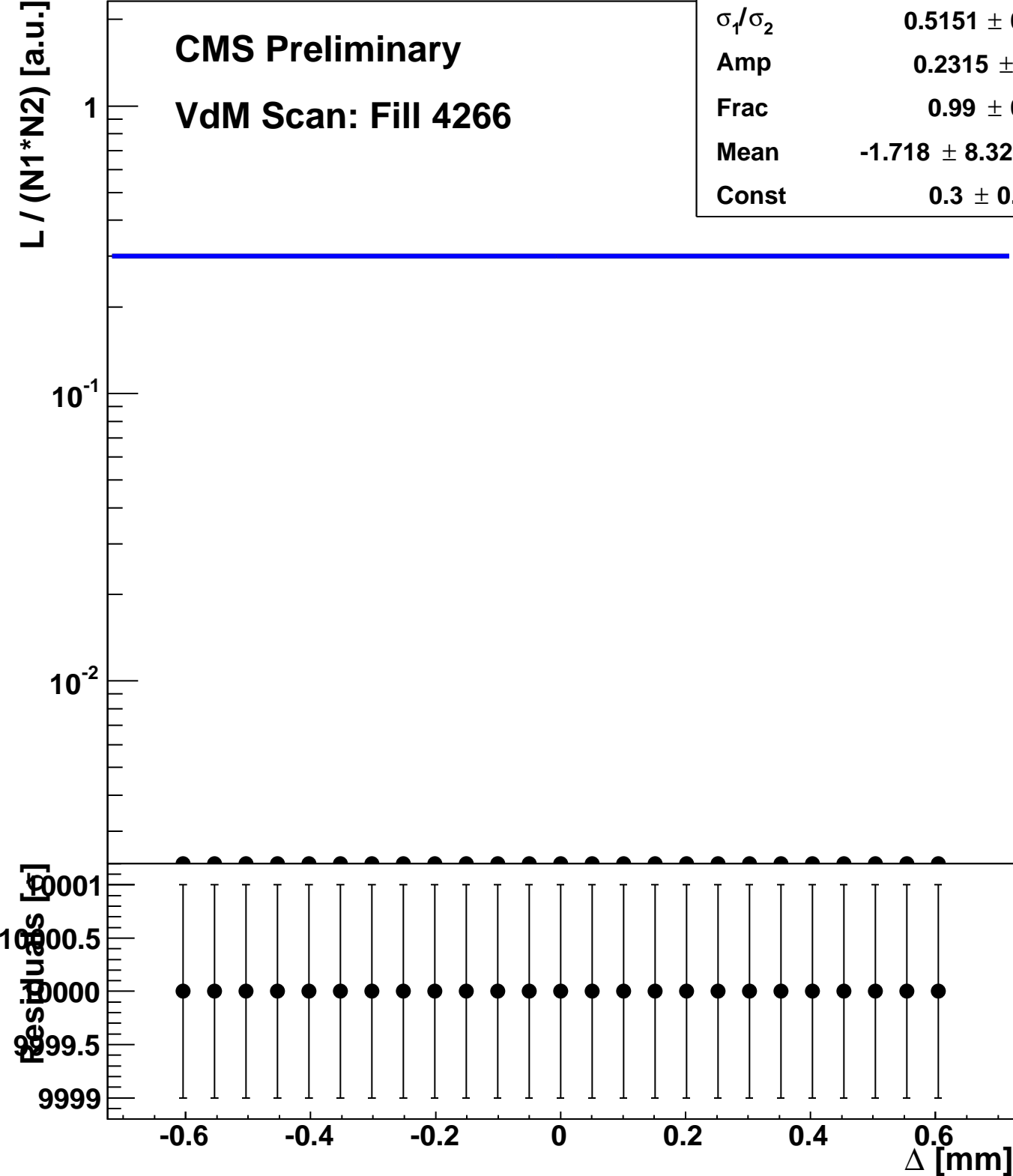


Scan 2: Y-plane BCID 771

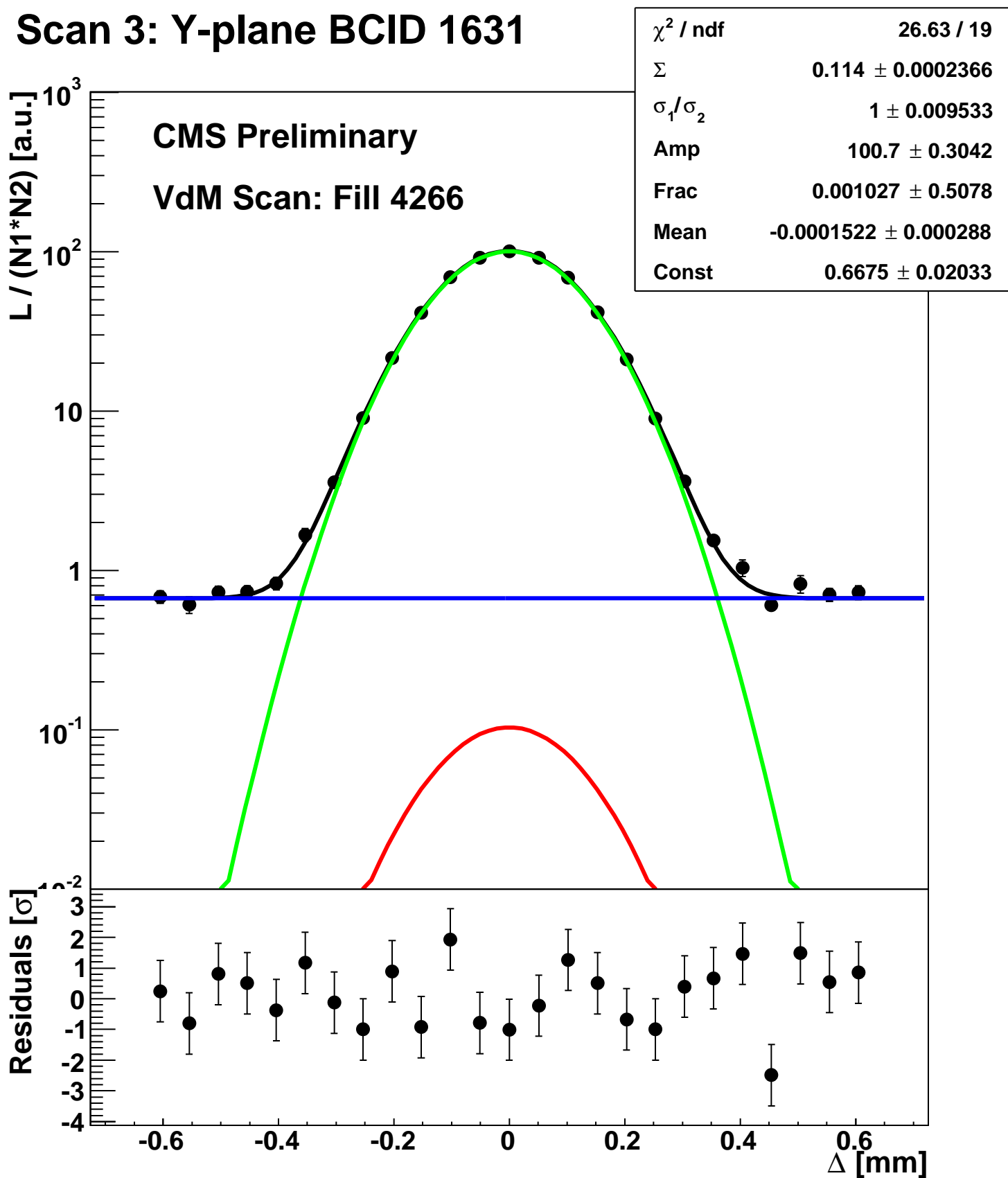


Scan 2: Y-plane BCID sum

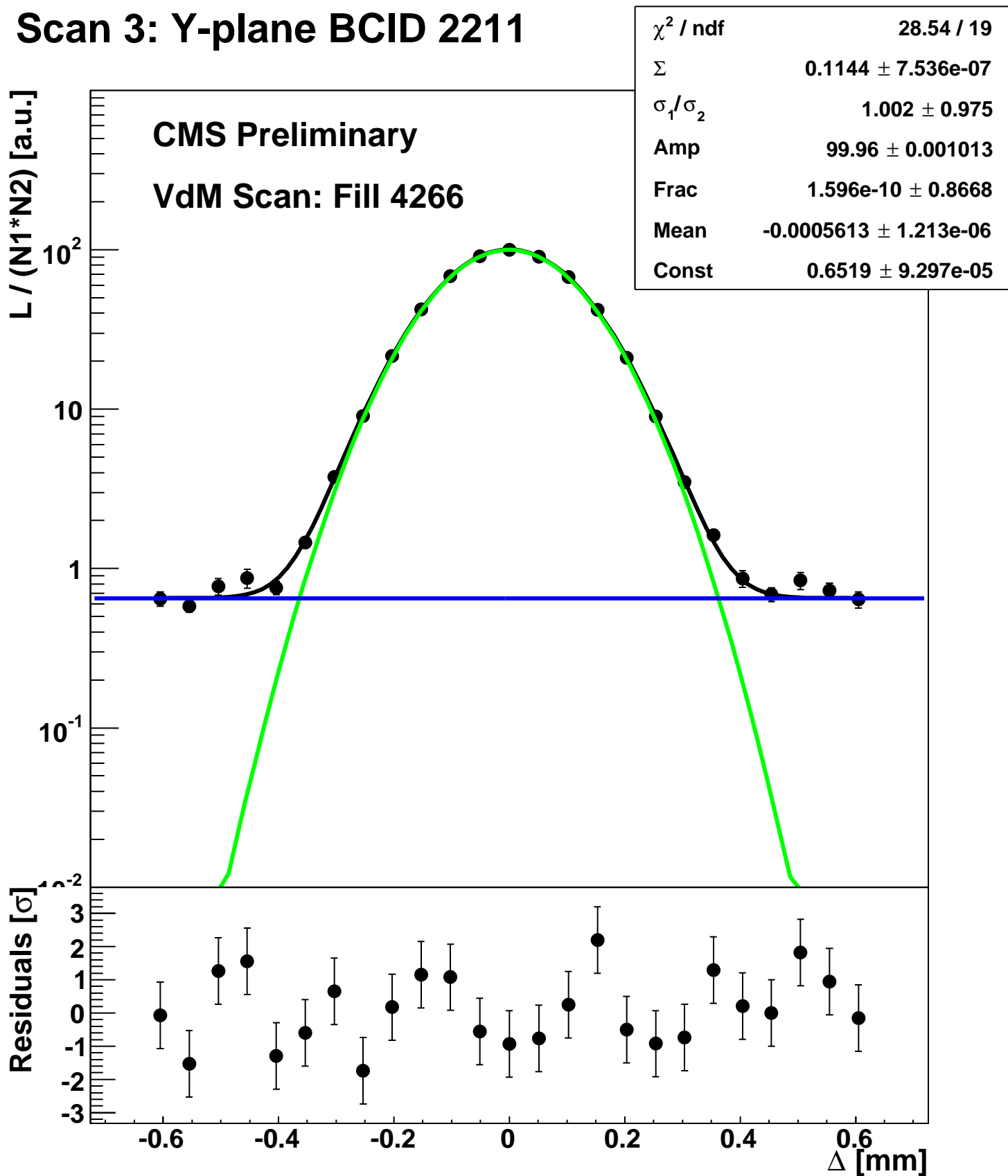
χ^2 / ndf	2.25 / 19
Σ	-0.05536 \pm 3.252
σ_1 / σ_2	0.5151 \pm 0.2841
Amp	0.2315 \pm 1.248
Frac	0.99 \pm 0.2601
Mean	-1.718 \pm 8.327e+06
Const	0.3 \pm 0.02231



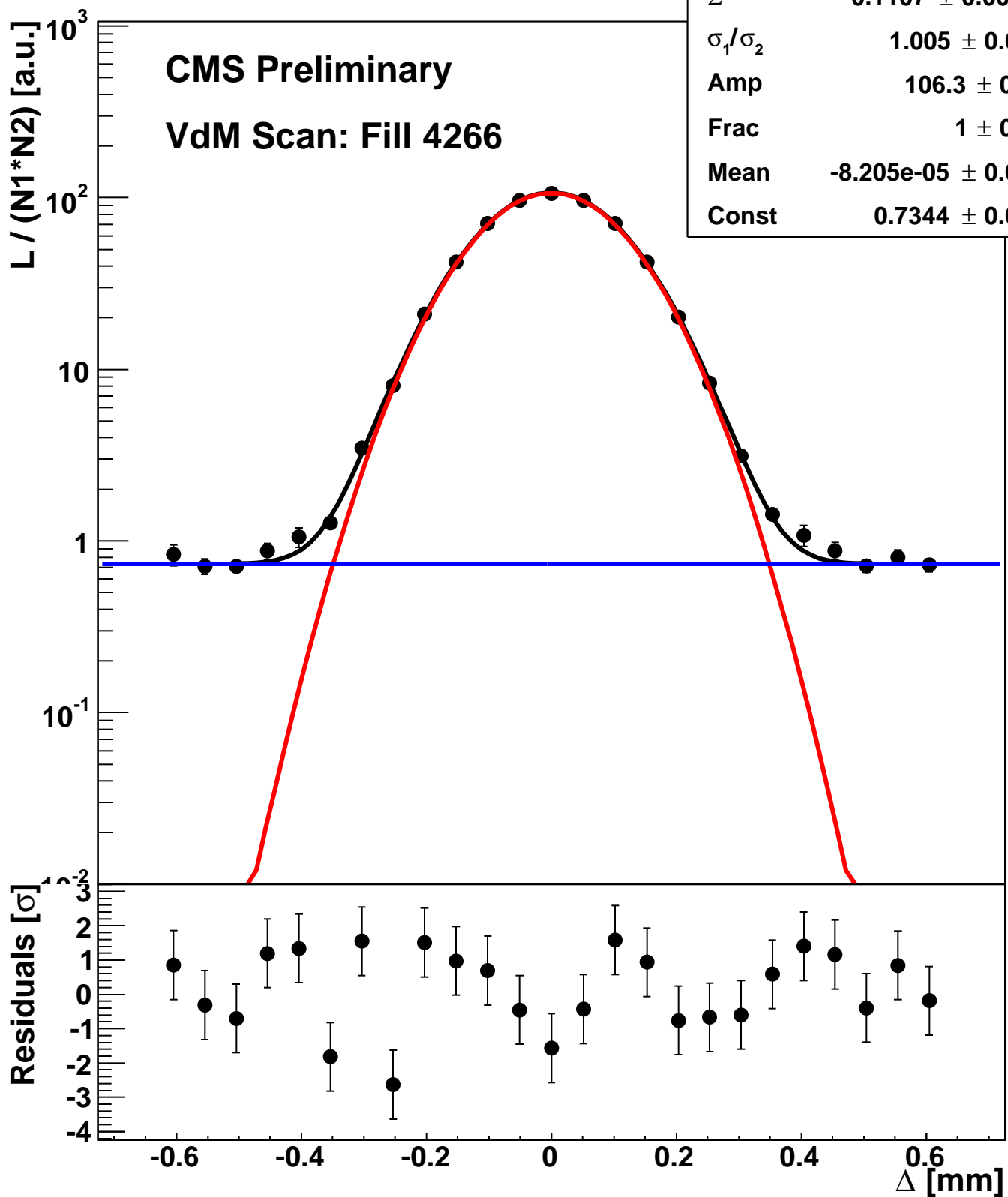
Scan 3: Y-plane BCID 1631



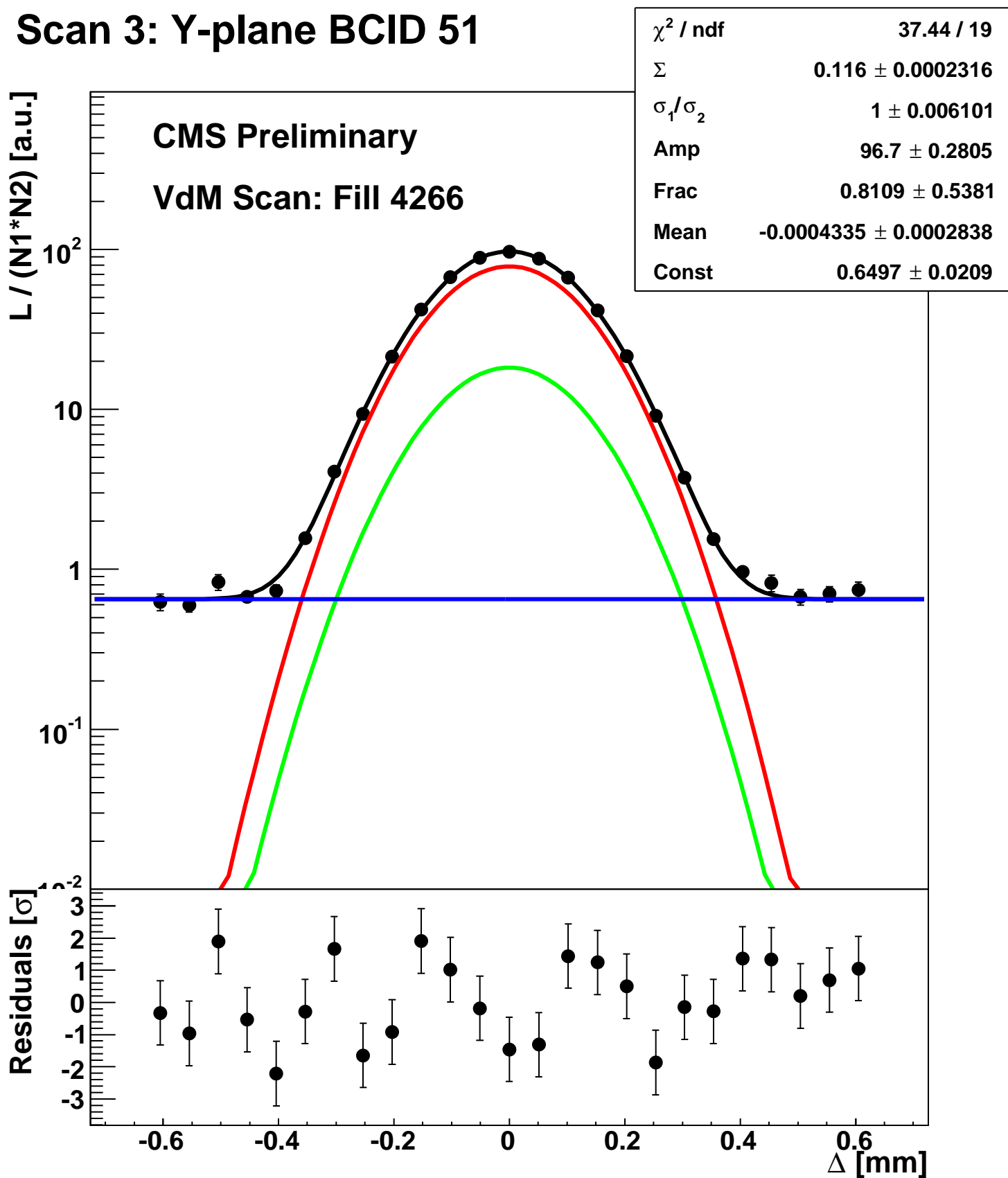
Scan 3: Y-plane BCID 2211



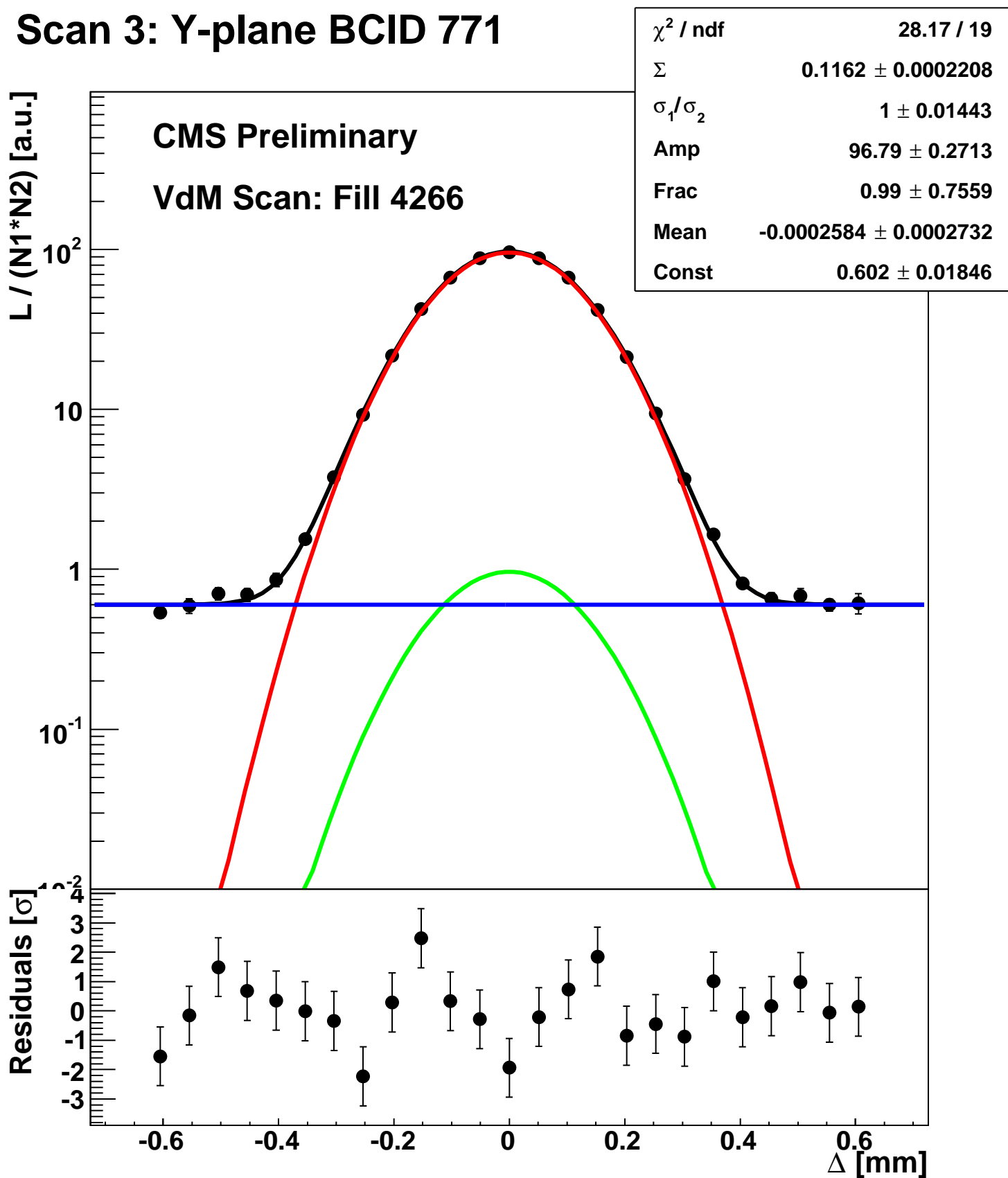
Scan 3: Y-plane BCID 2674



Scan 3: Y-plane BCID 51

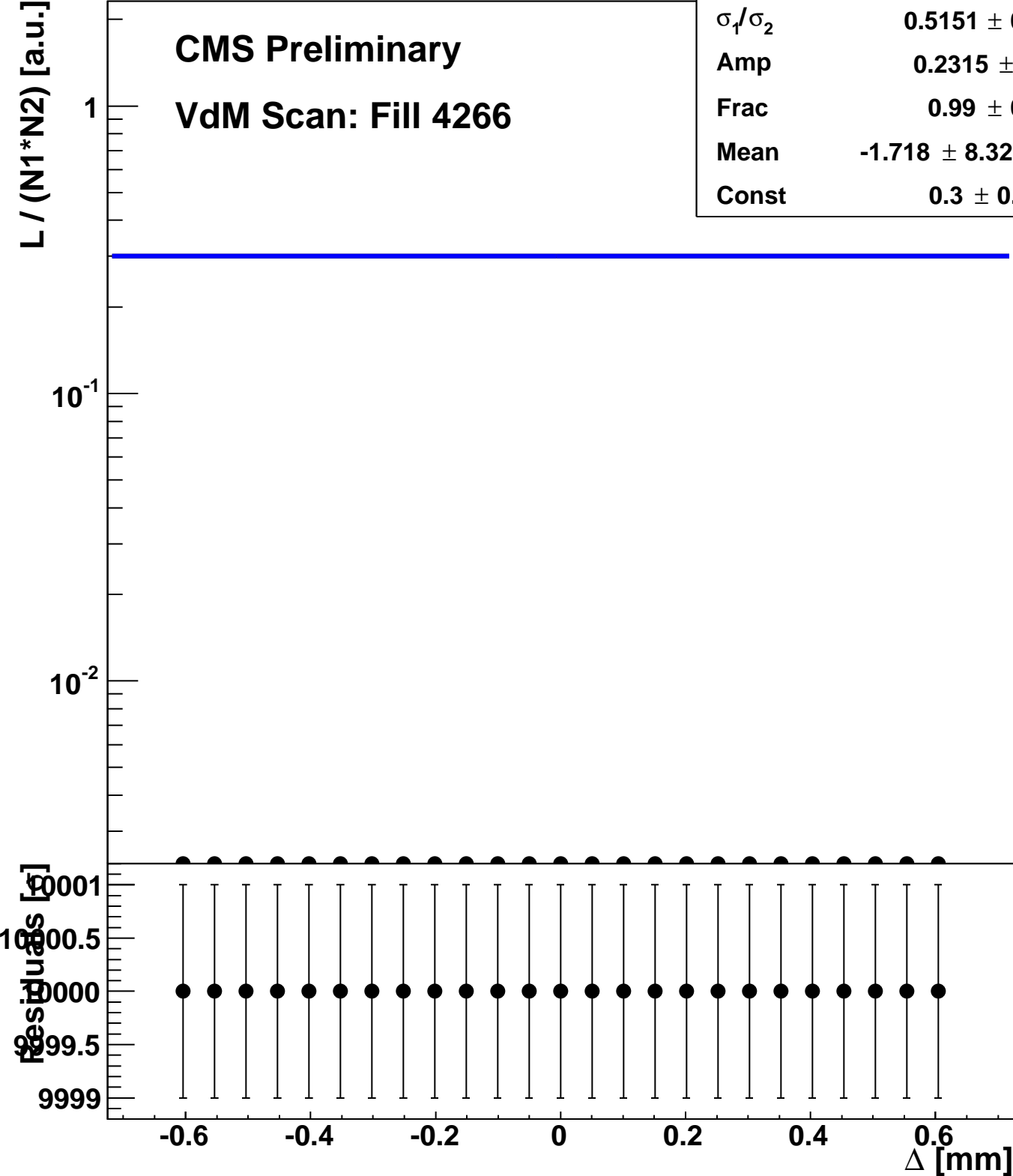


Scan 3: Y-plane BCID 771

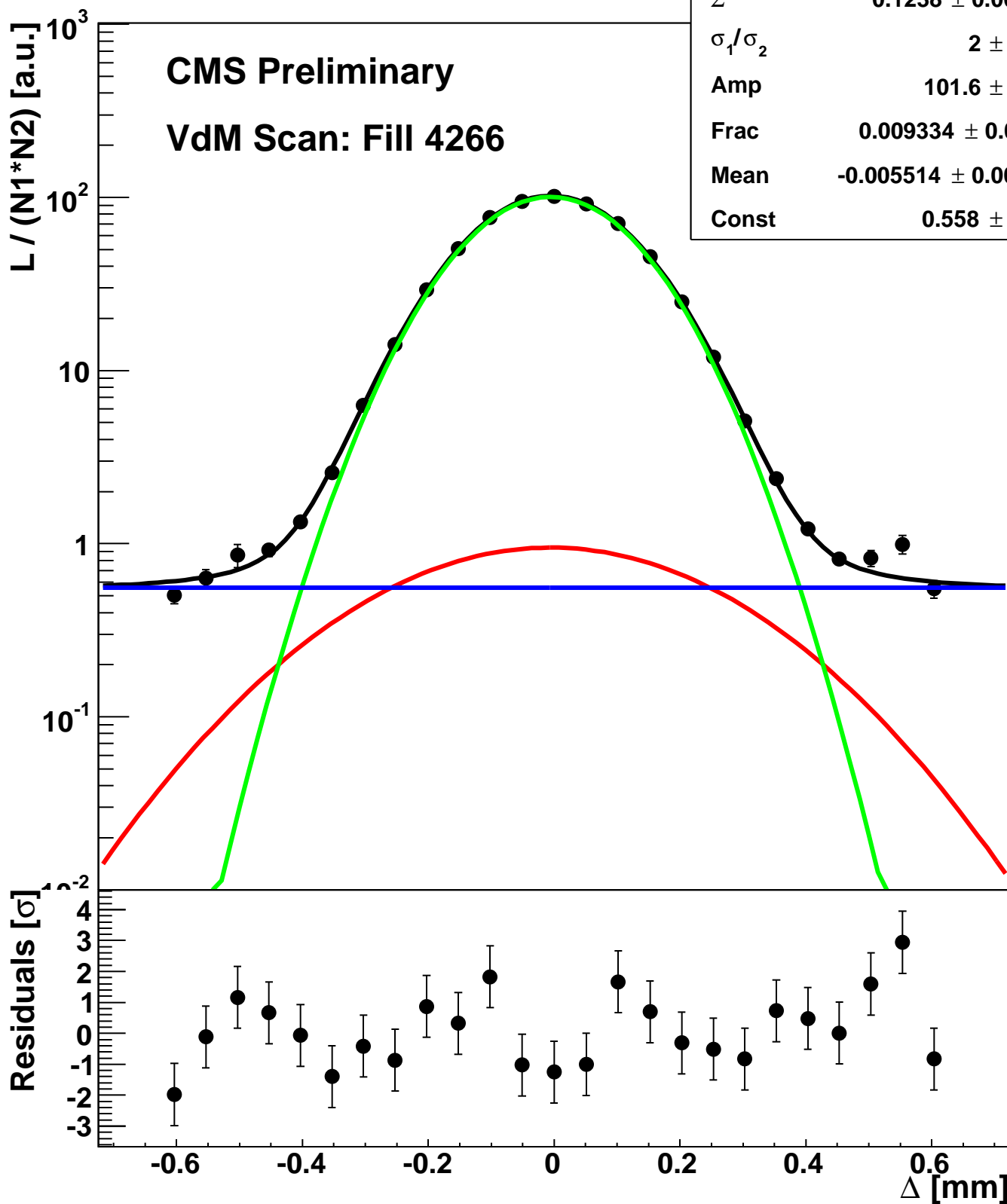


Scan 3: Y-plane BCID sum

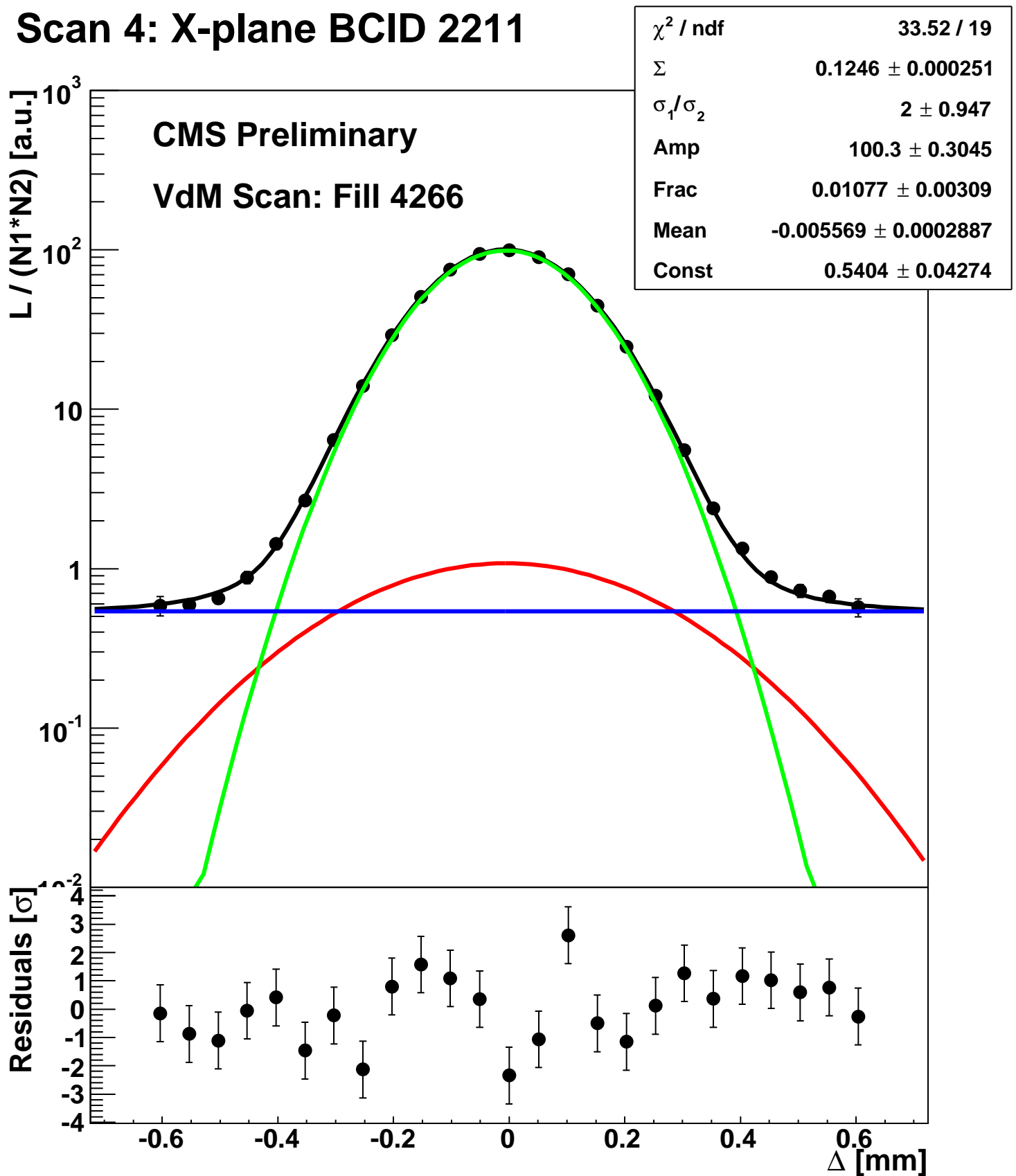
χ^2 / ndf	2.25 / 19
Σ	-0.05536 ± 3.252
σ_1 / σ_2	0.5151 ± 0.2841
Amp	0.2315 ± 1.248
Frac	0.99 ± 0.2601
Mean	$-1.718 \pm 8.327\text{e}+06$
Const	0.3 ± 0.02231



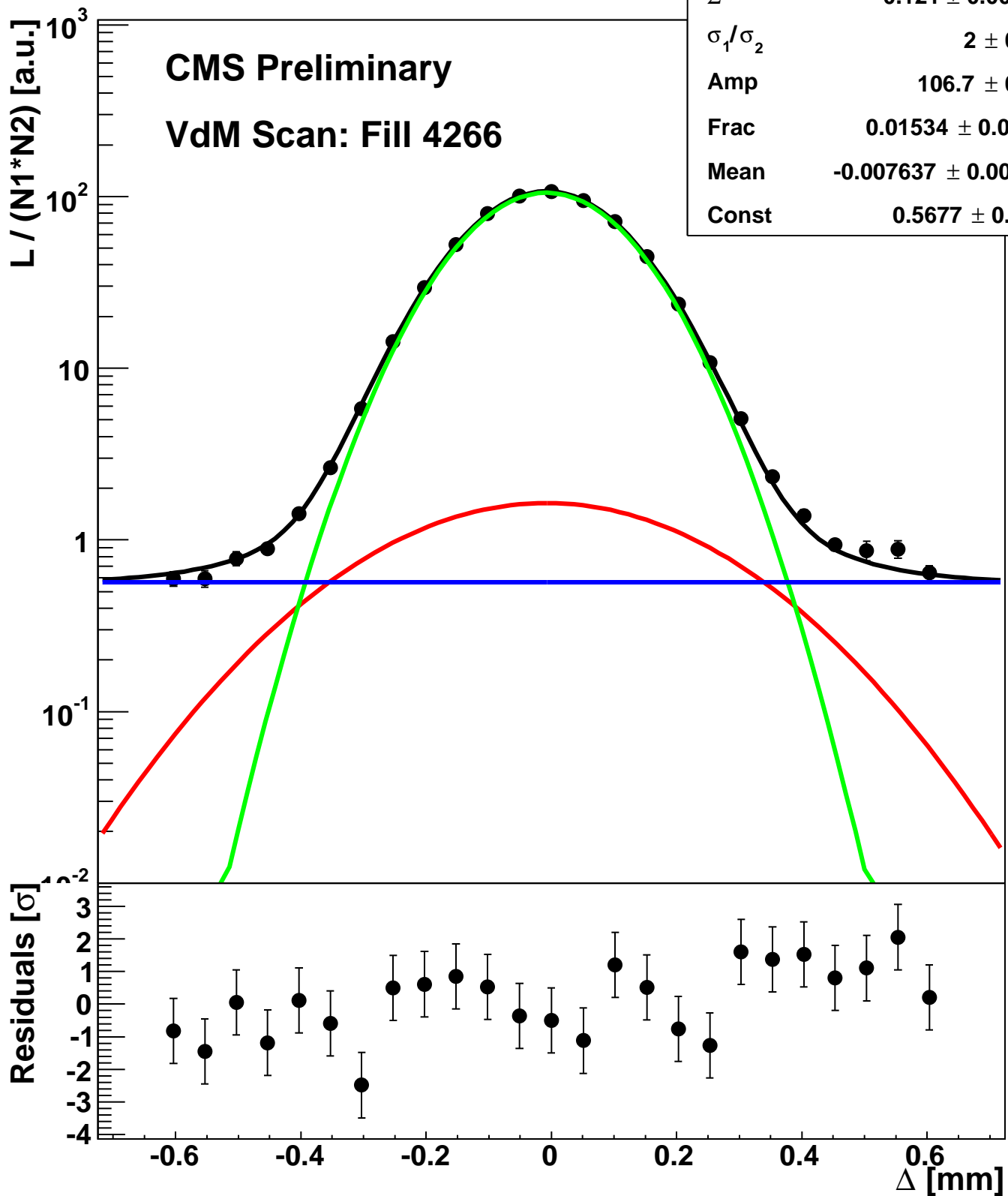
Scan 4: X-plane BCID 1631



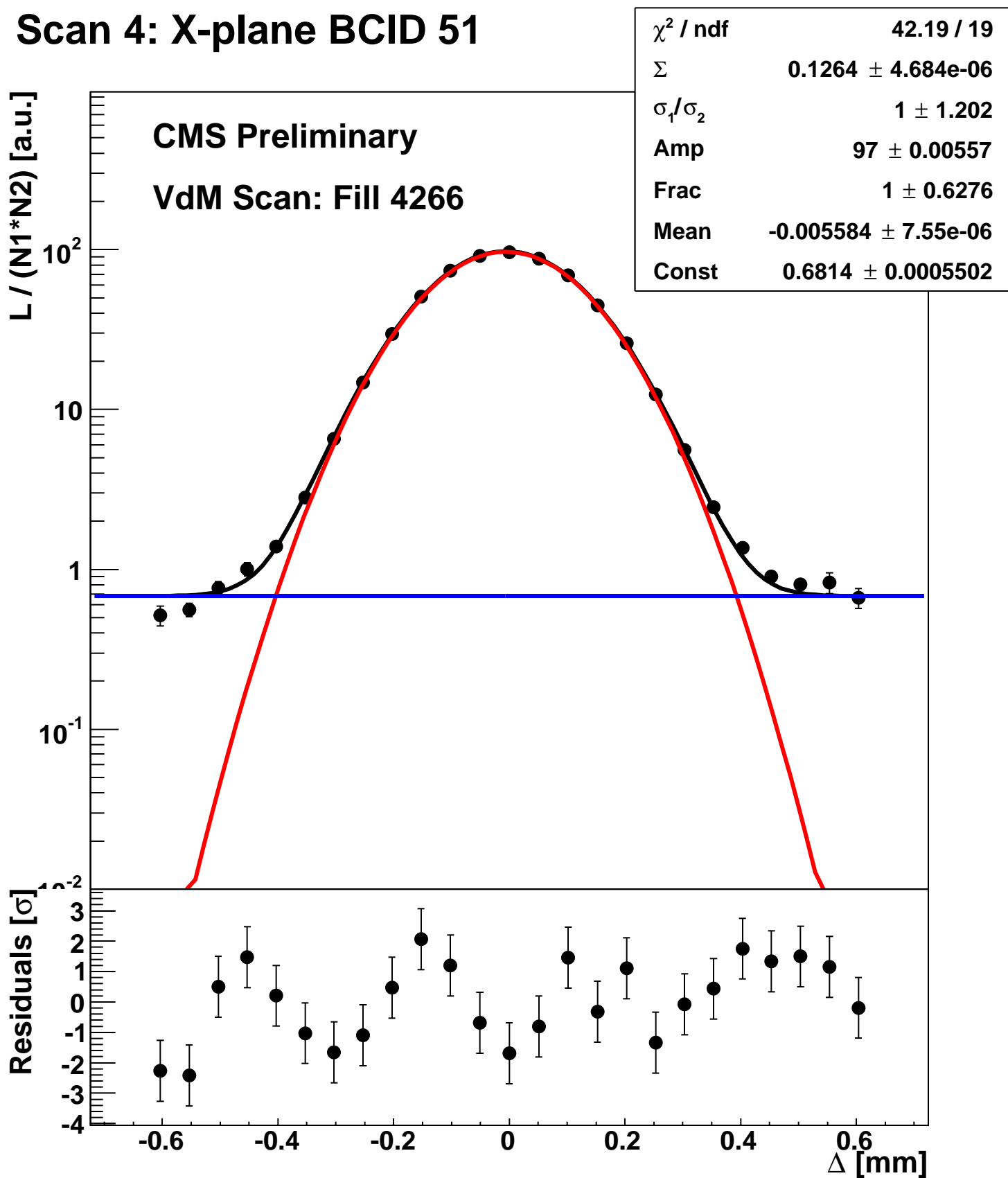
Scan 4: X-plane BCID 2211



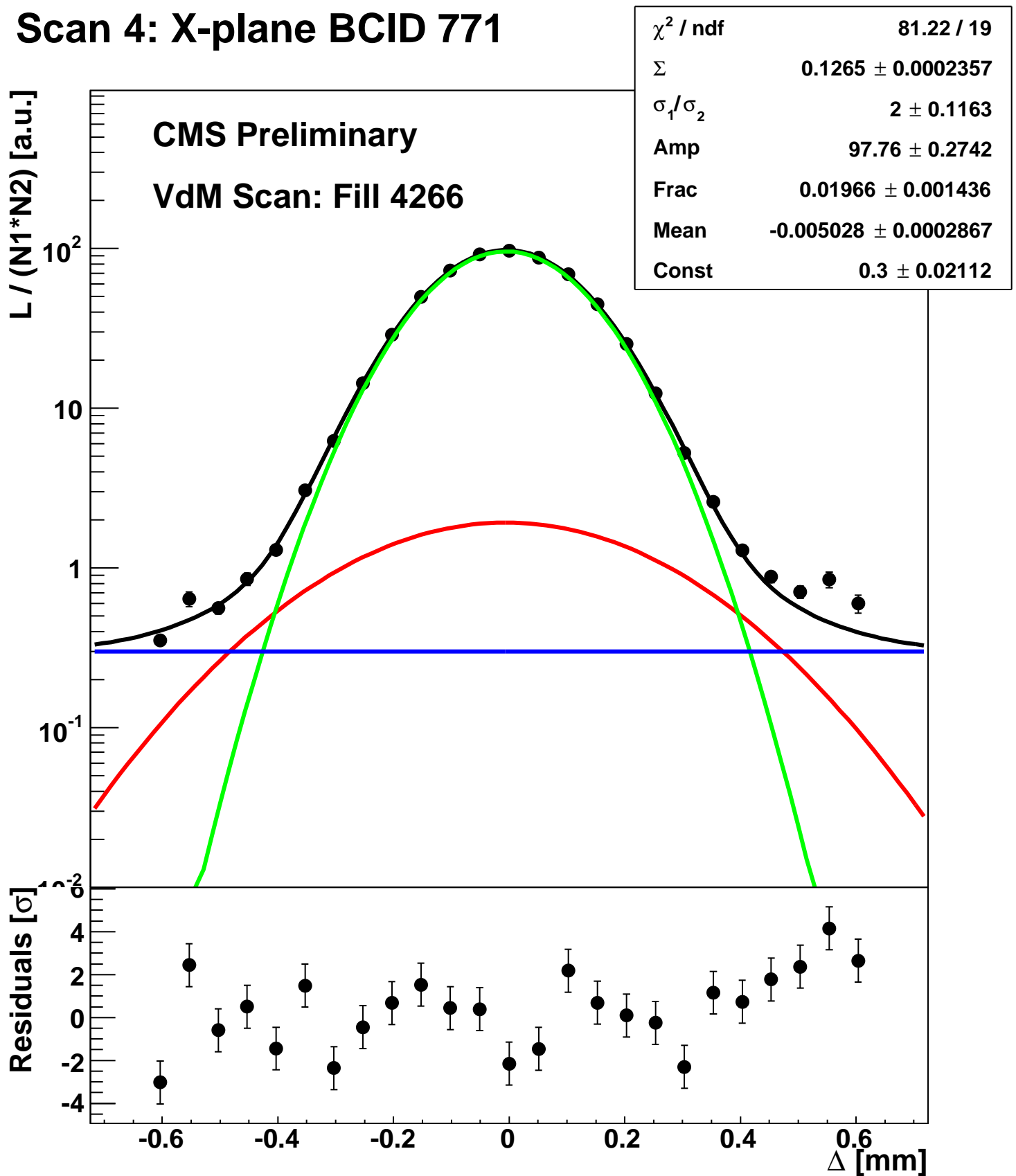
Scan 4: X-plane BCID 2674



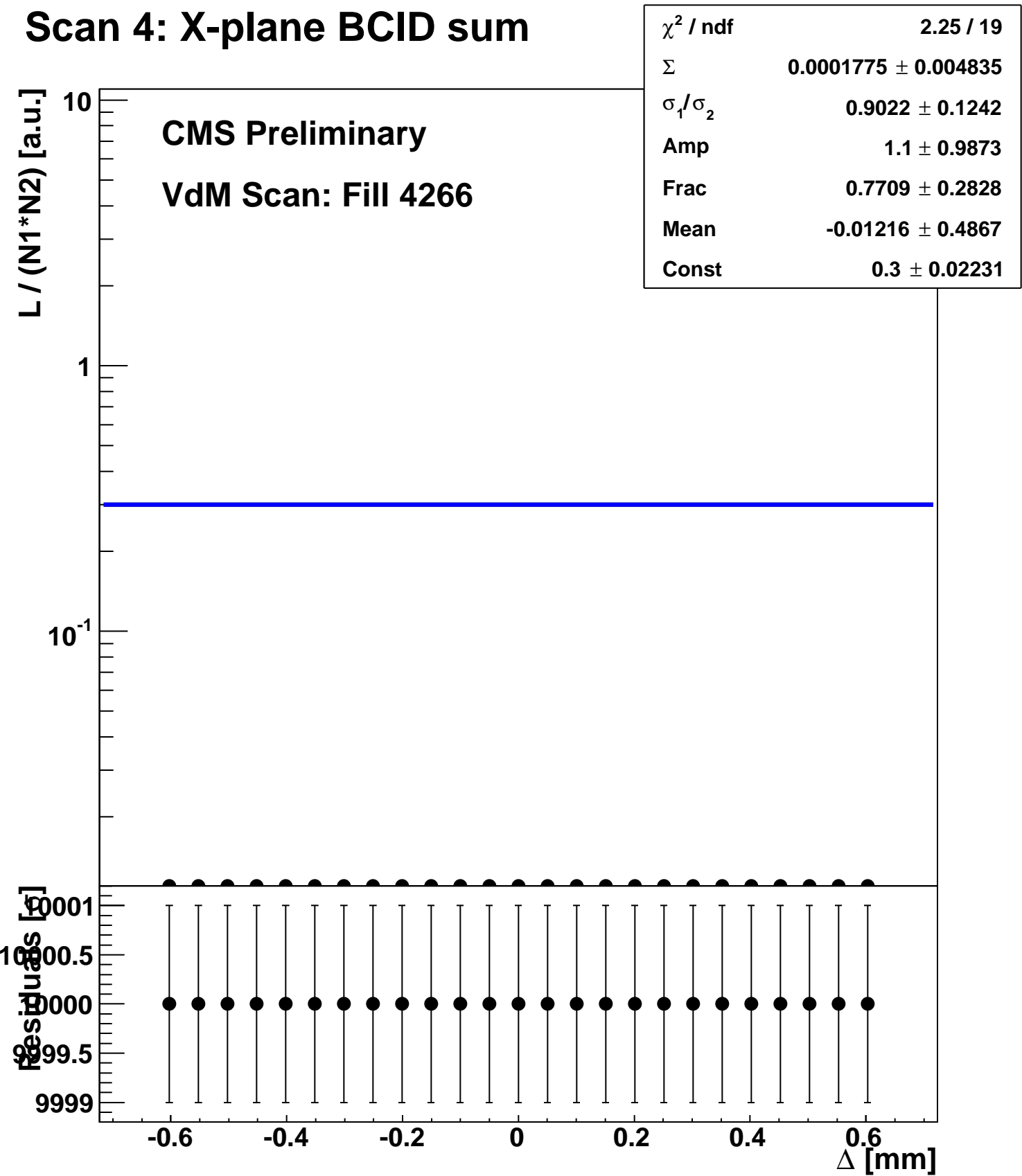
Scan 4: X-plane BCID 51



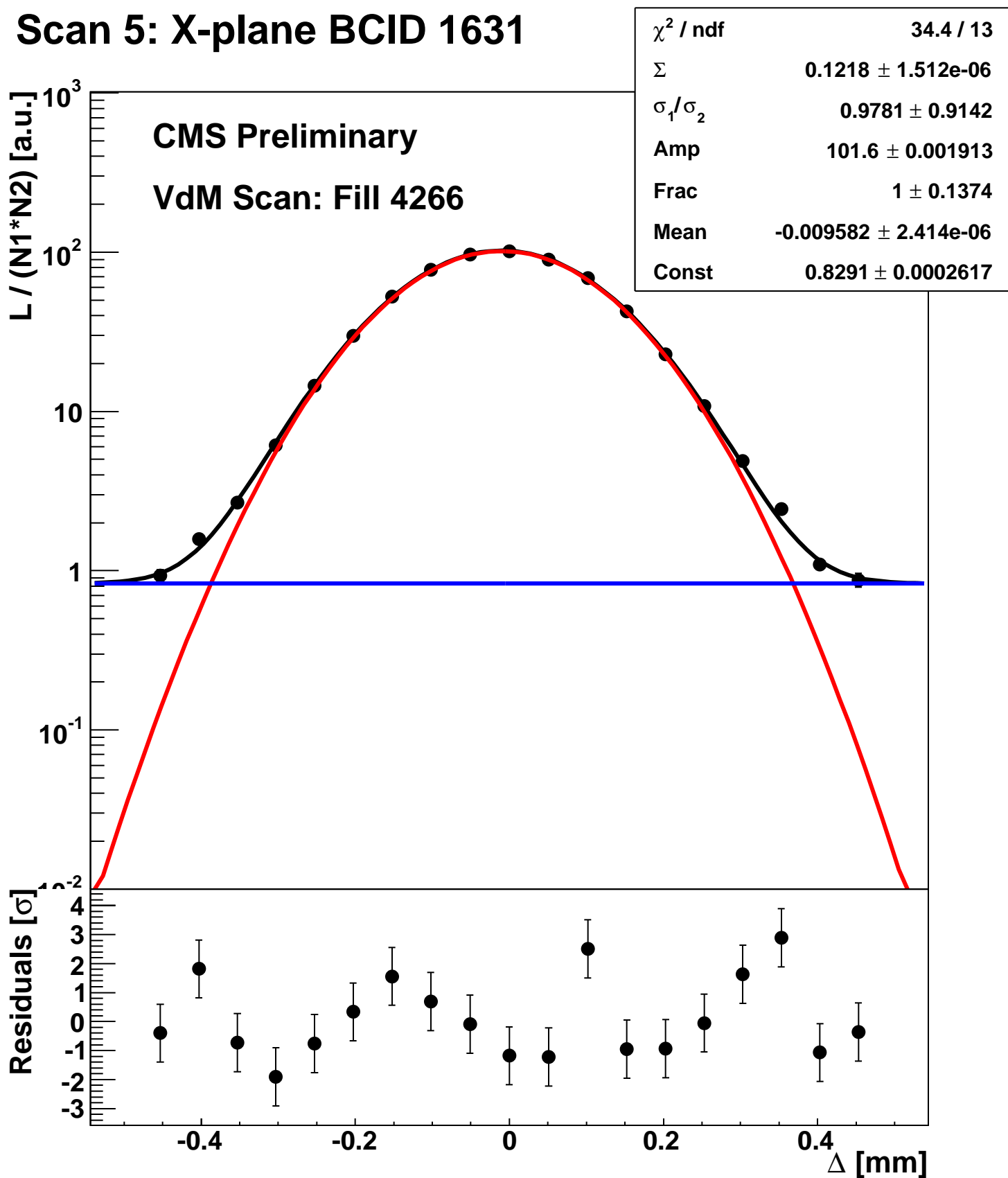
Scan 4: X-plane BCID 771



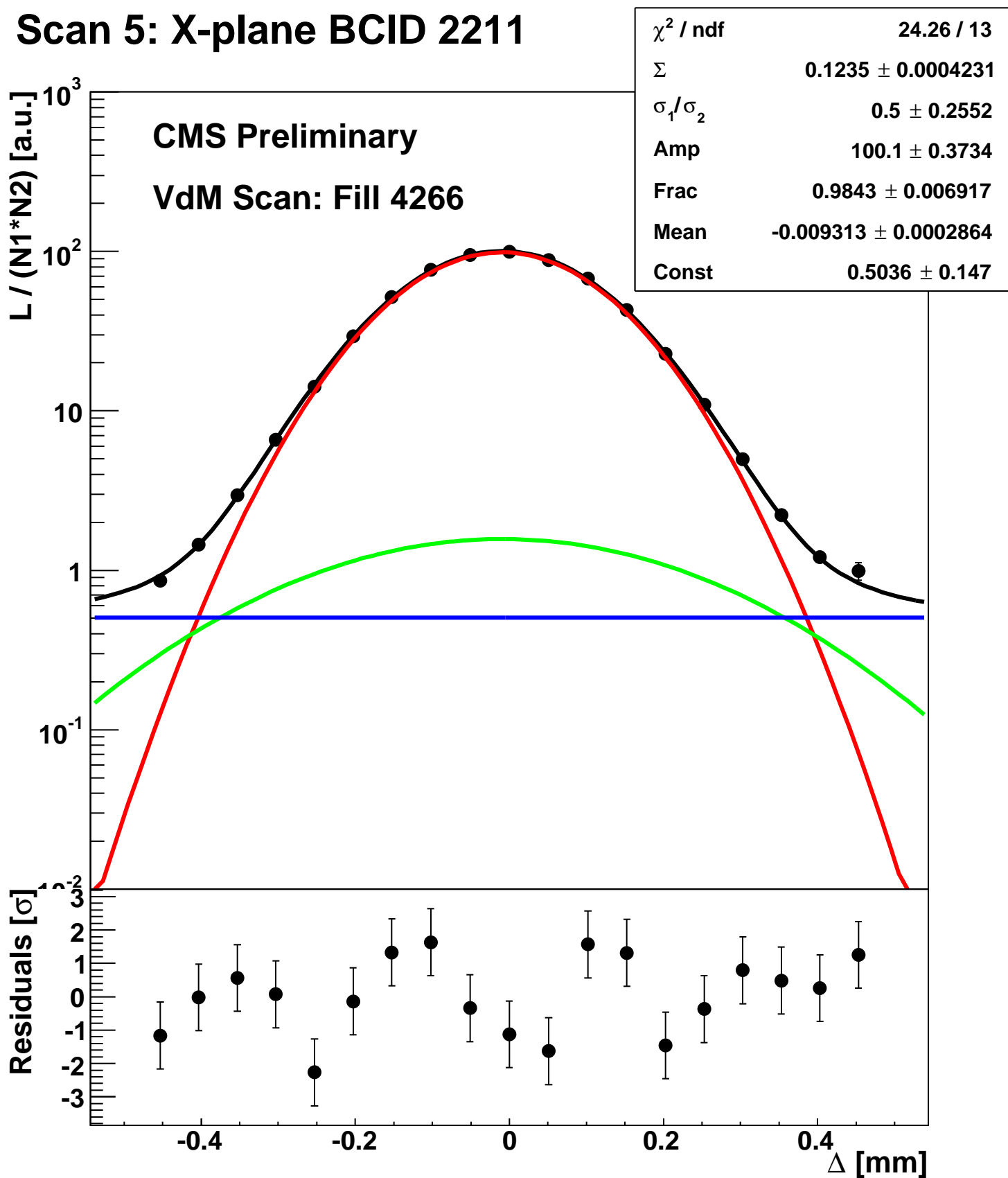
Scan 4: X-plane BCID sum



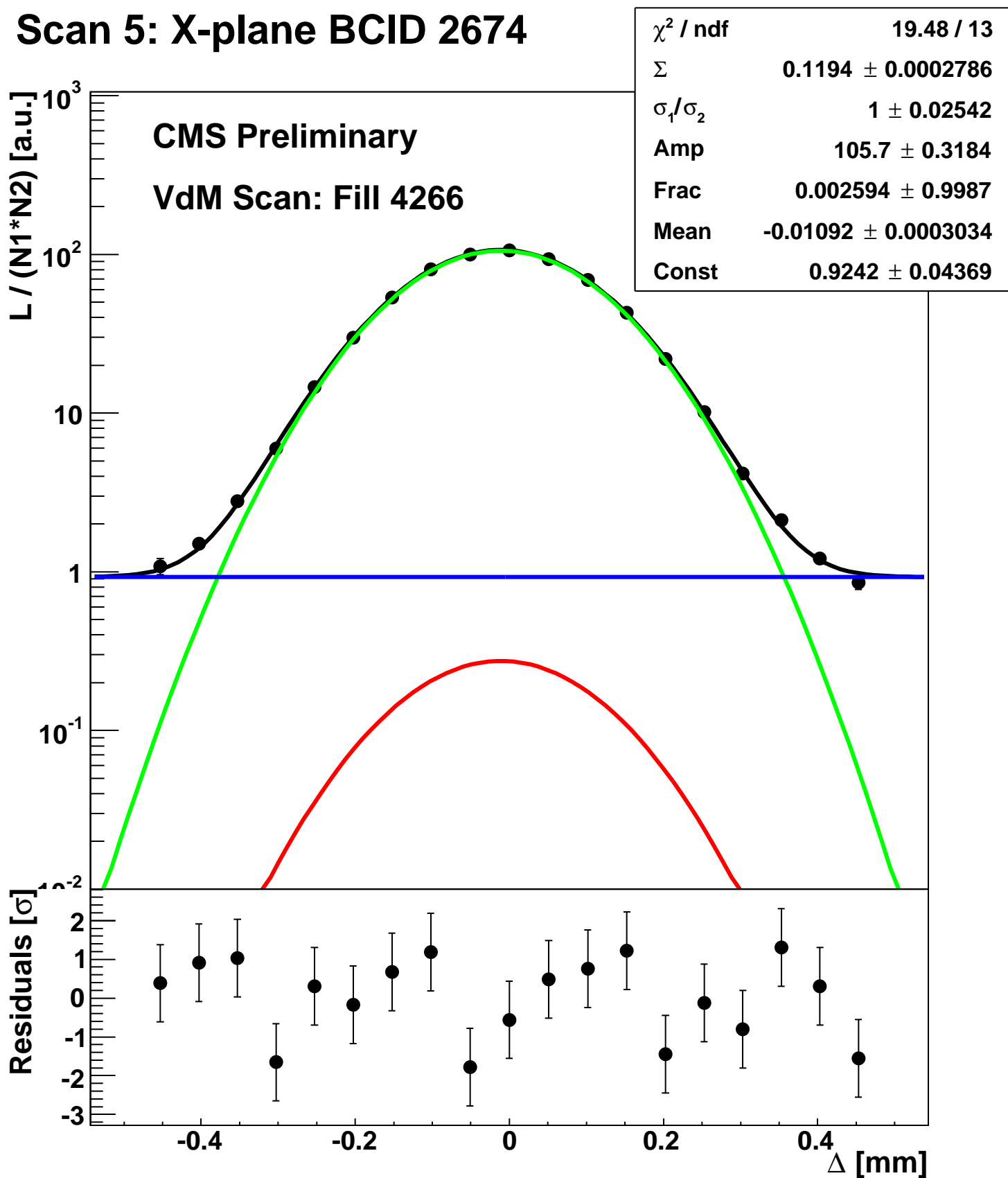
Scan 5: X-plane BCID 1631



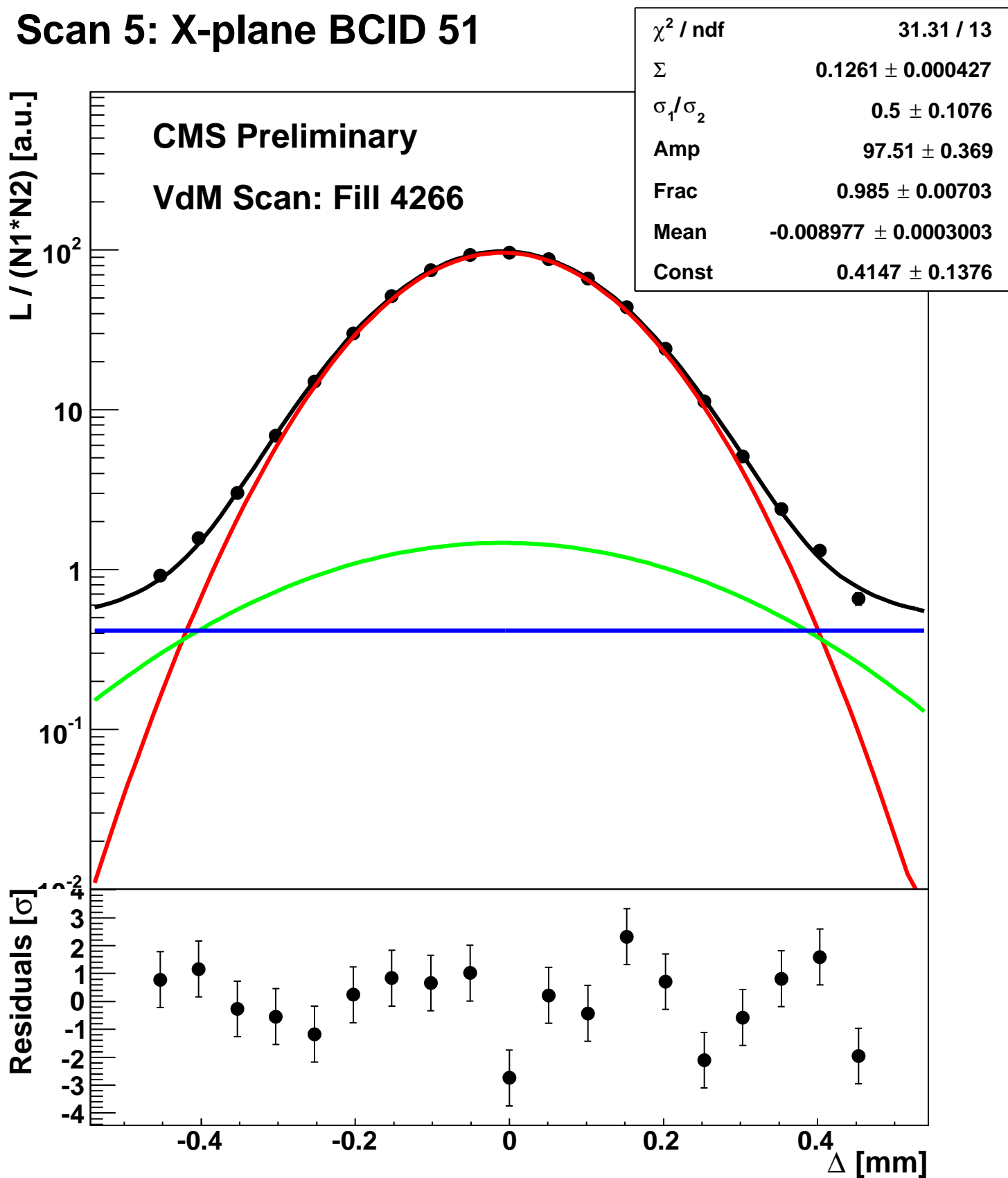
Scan 5: X-plane BCID 2211



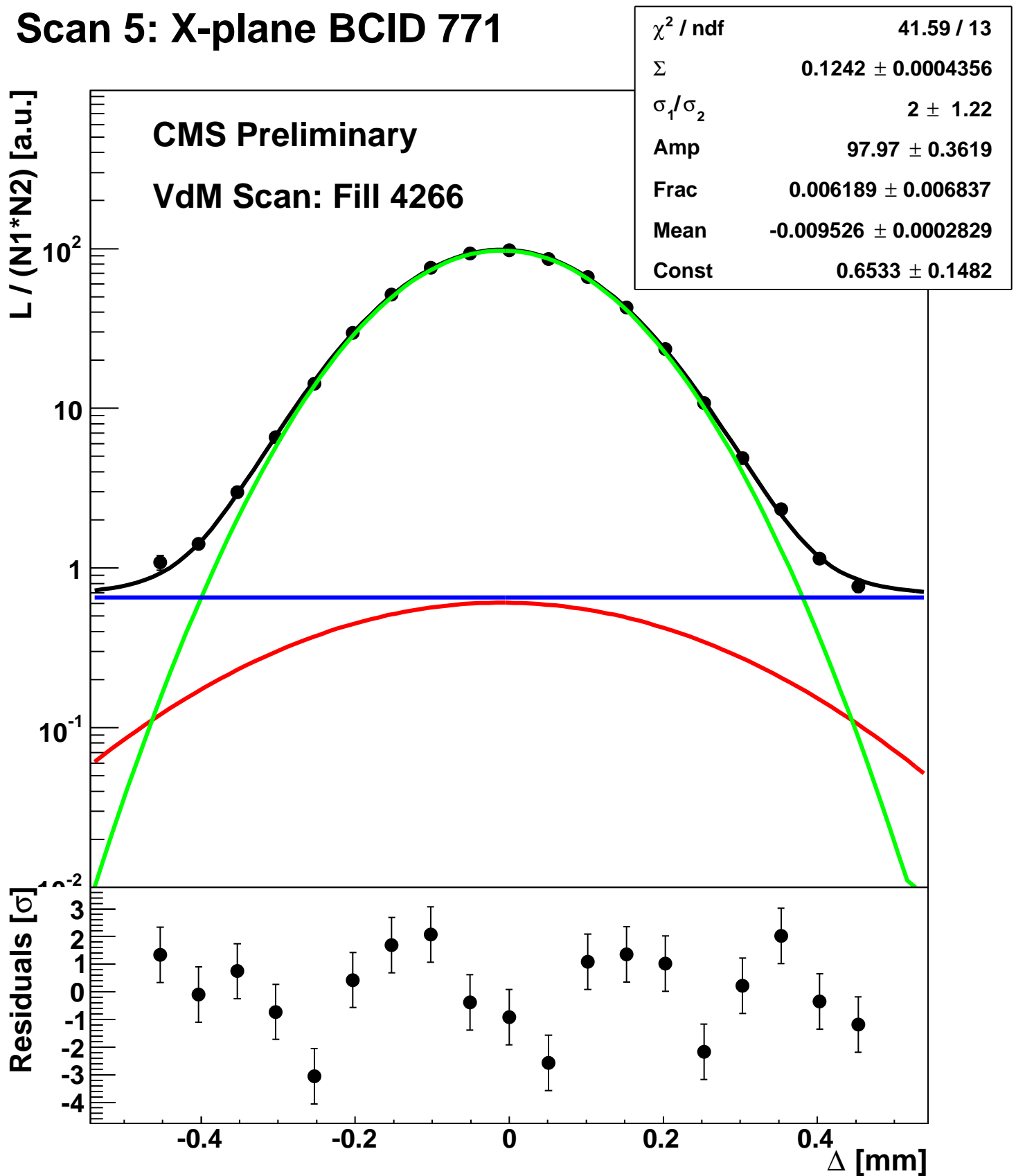
Scan 5: X-plane BCID 2674



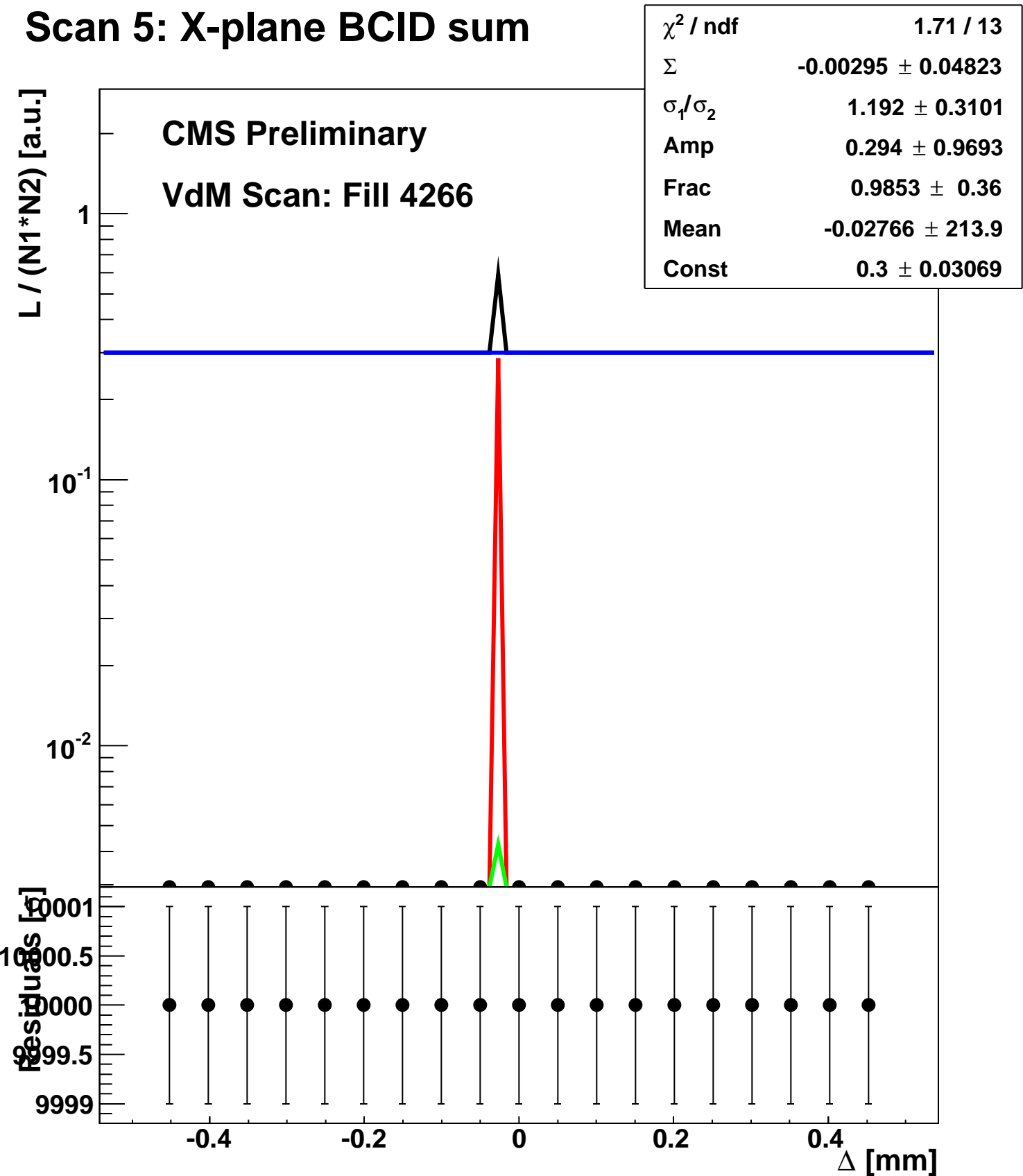
Scan 5: X-plane BCID 51



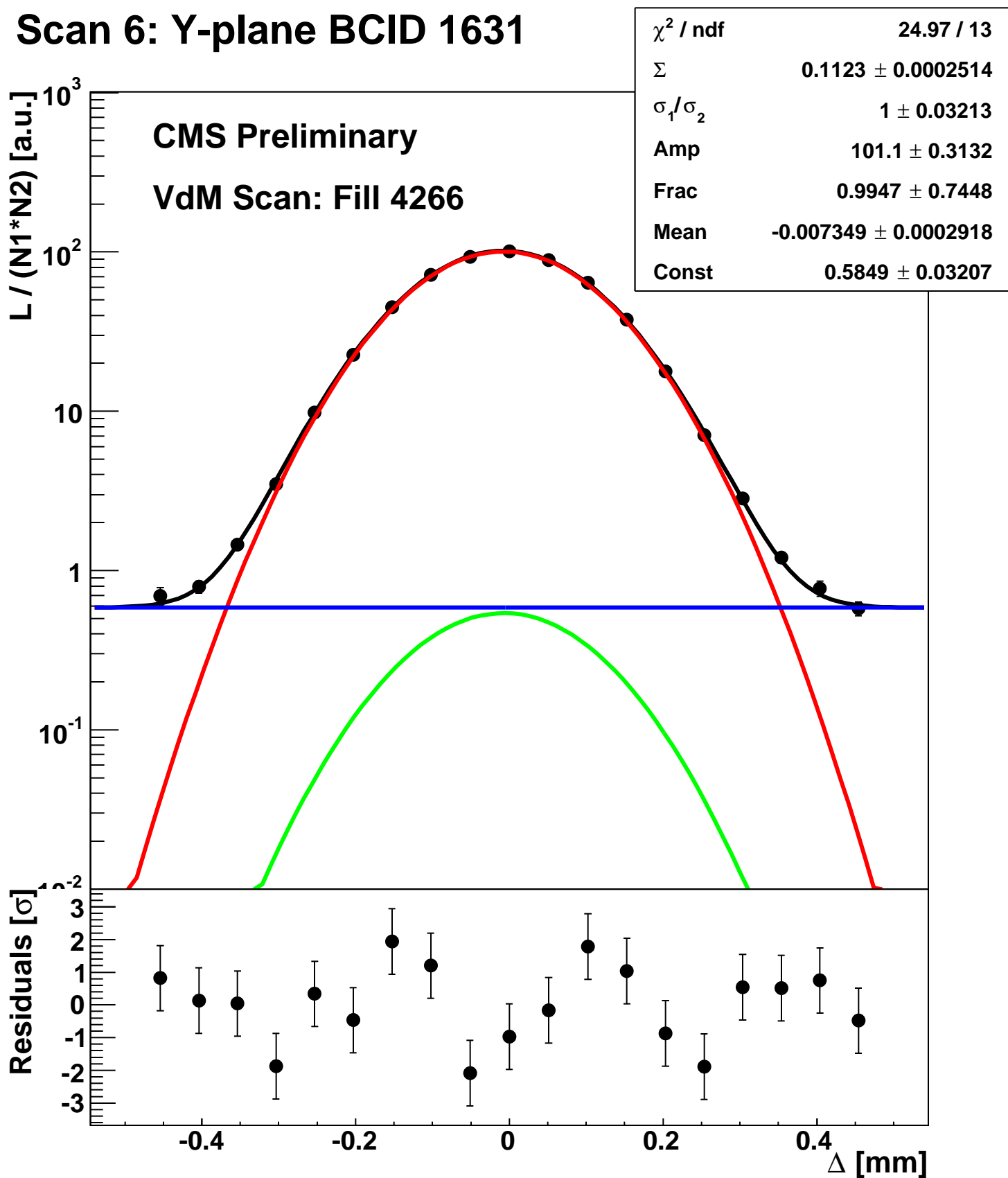
Scan 5: X-plane BCID 771



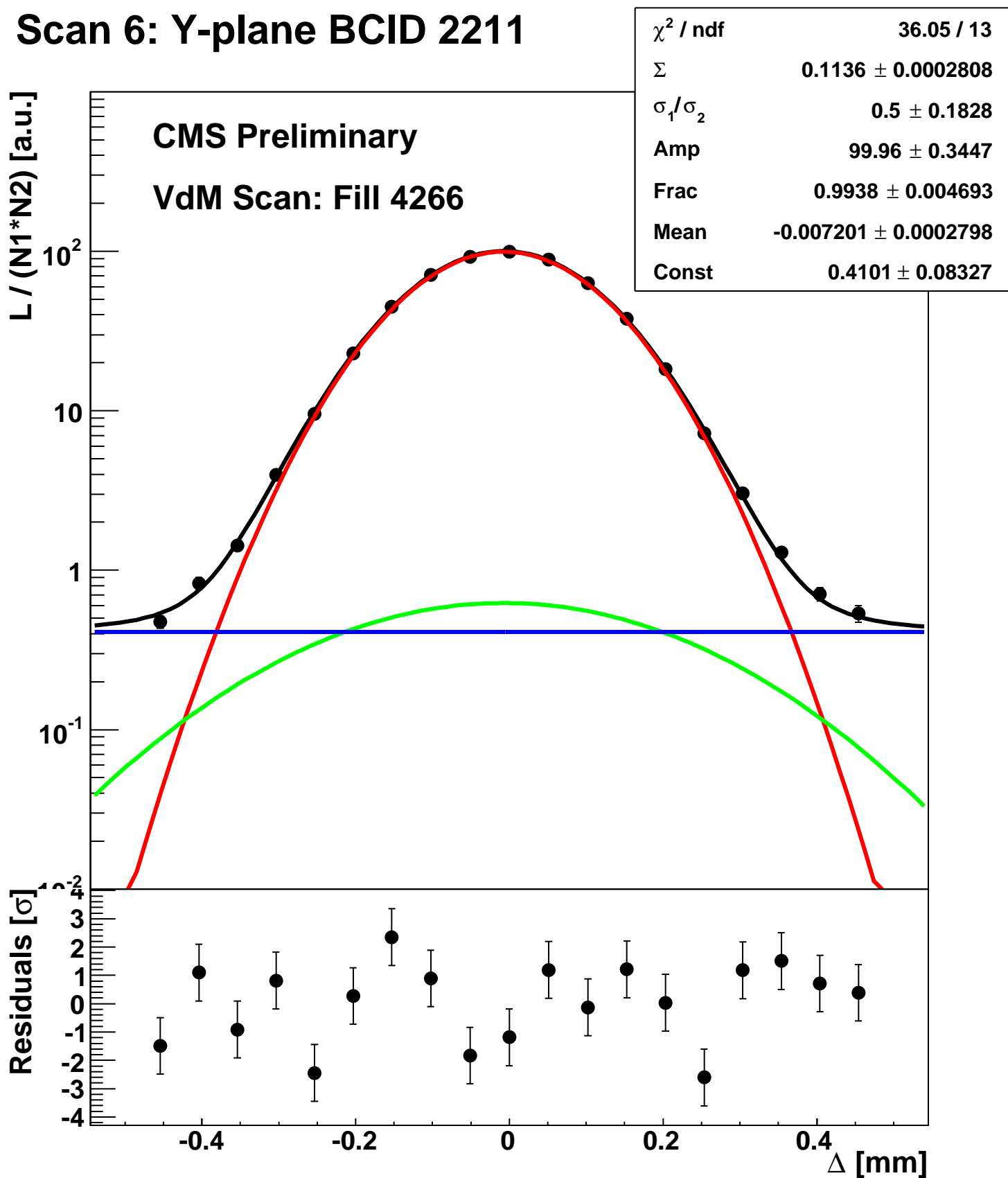
Scan 5: X-plane BCID sum



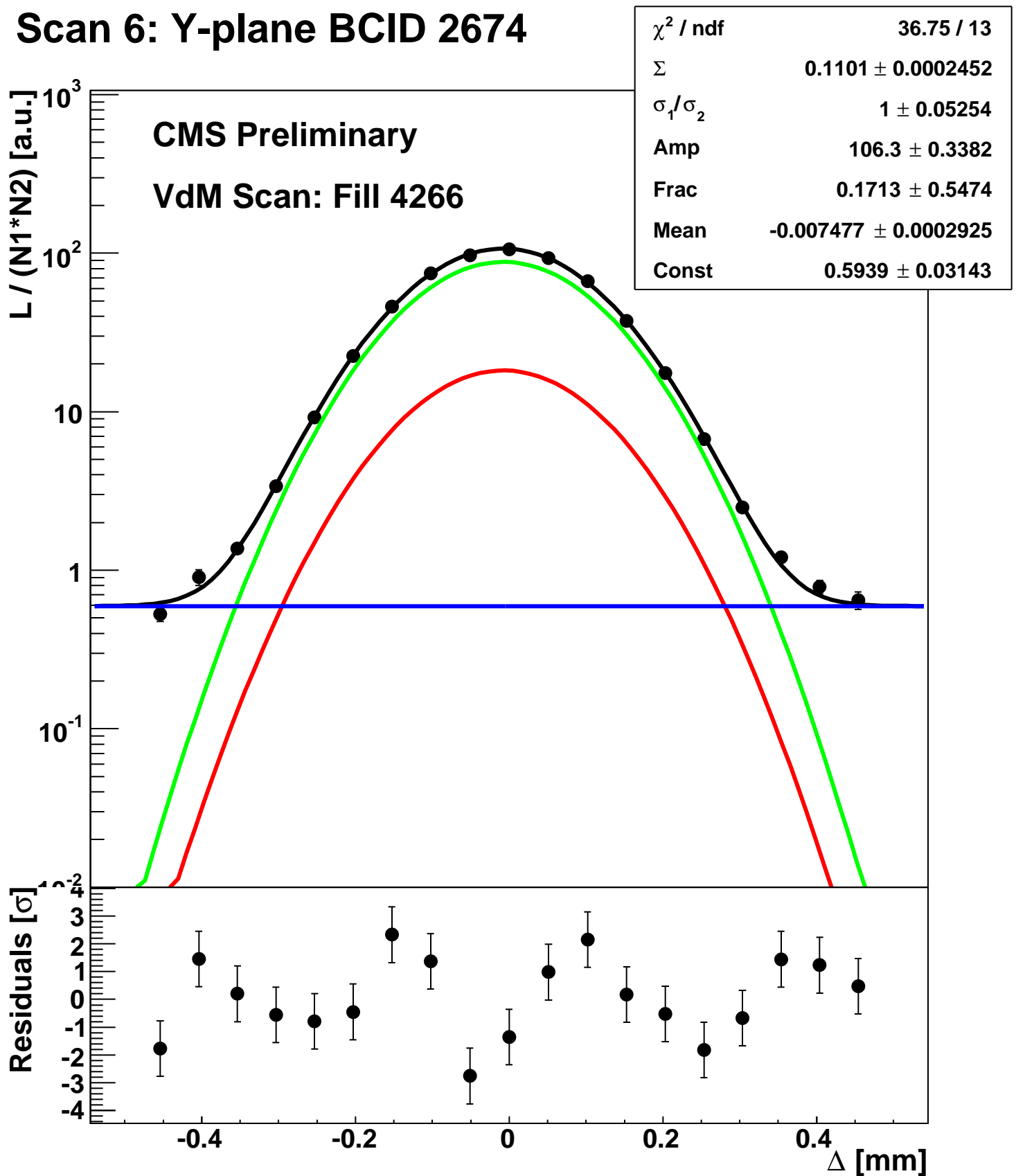
Scan 6: Y-plane BCID 1631



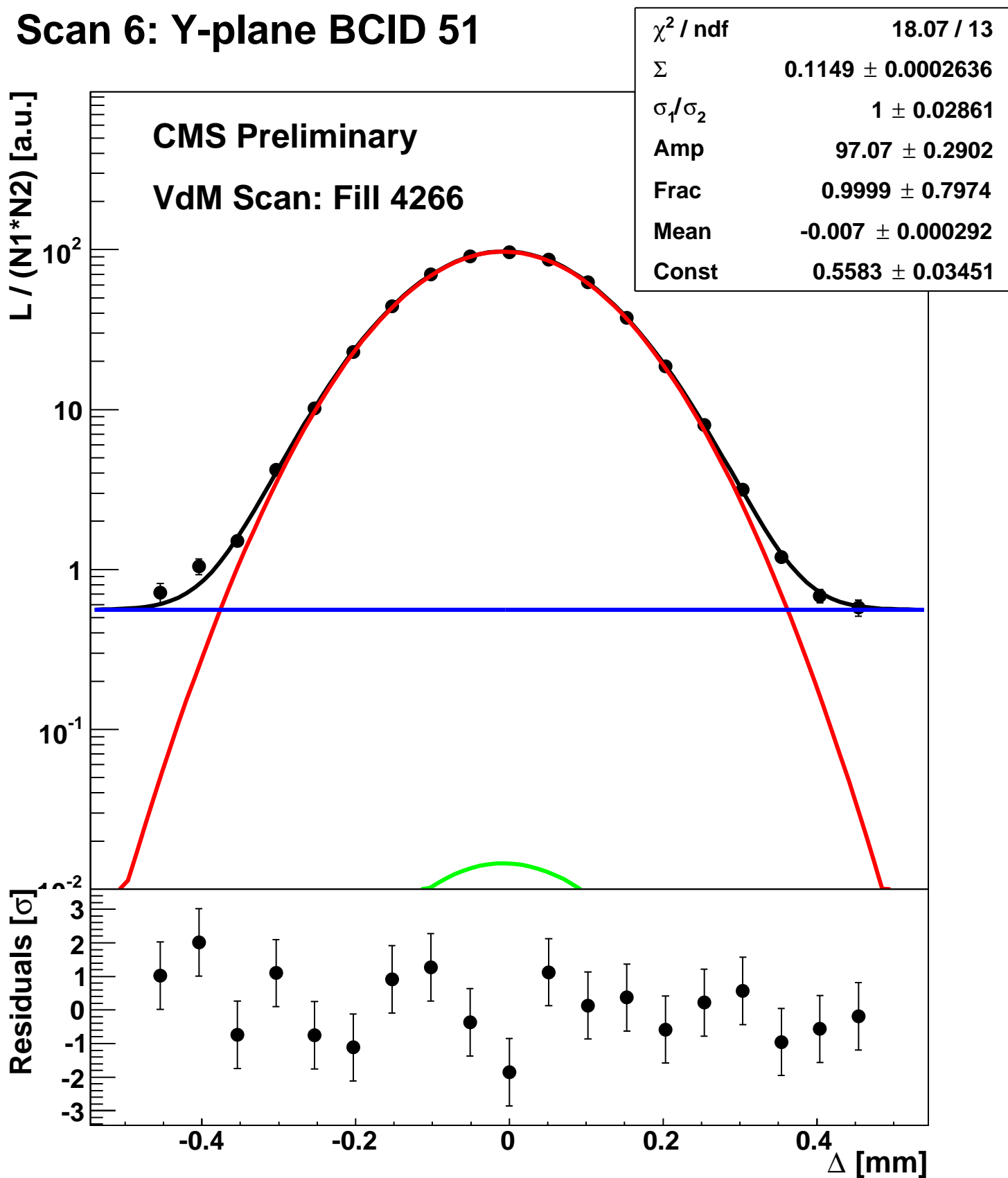
Scan 6: Y-plane BCID 2211



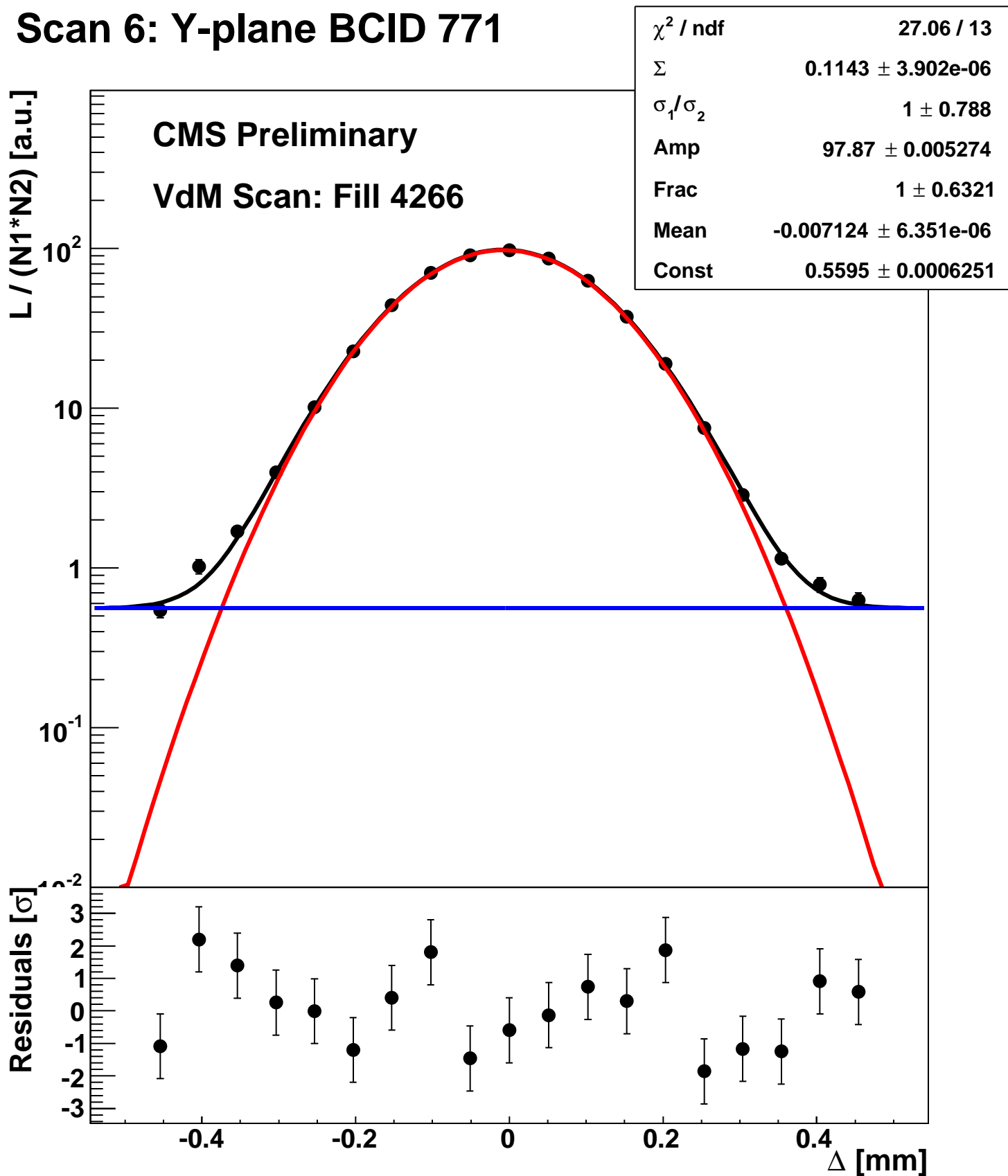
Scan 6: Y-plane BCID 2674



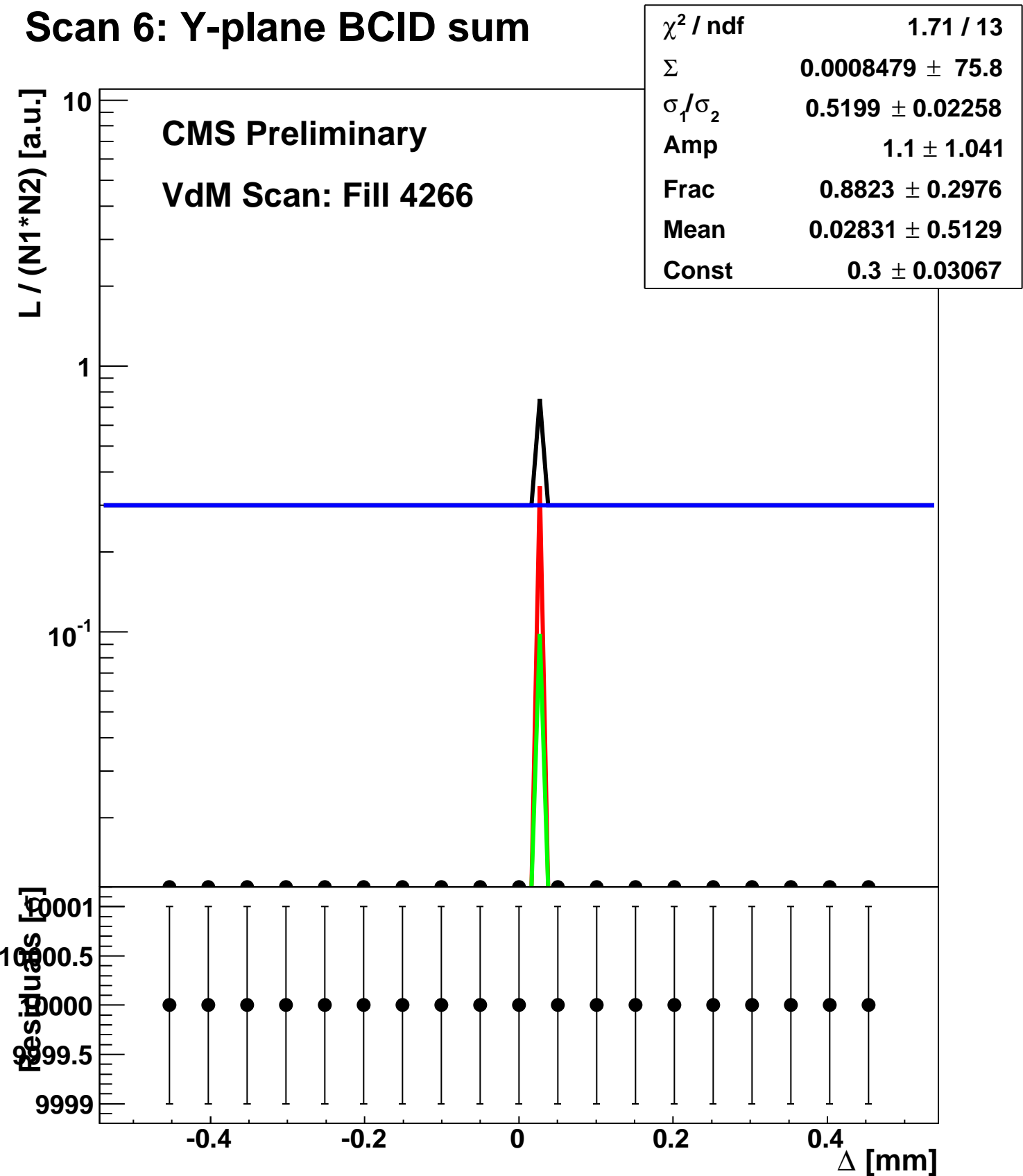
Scan 6: Y-plane BCID 51



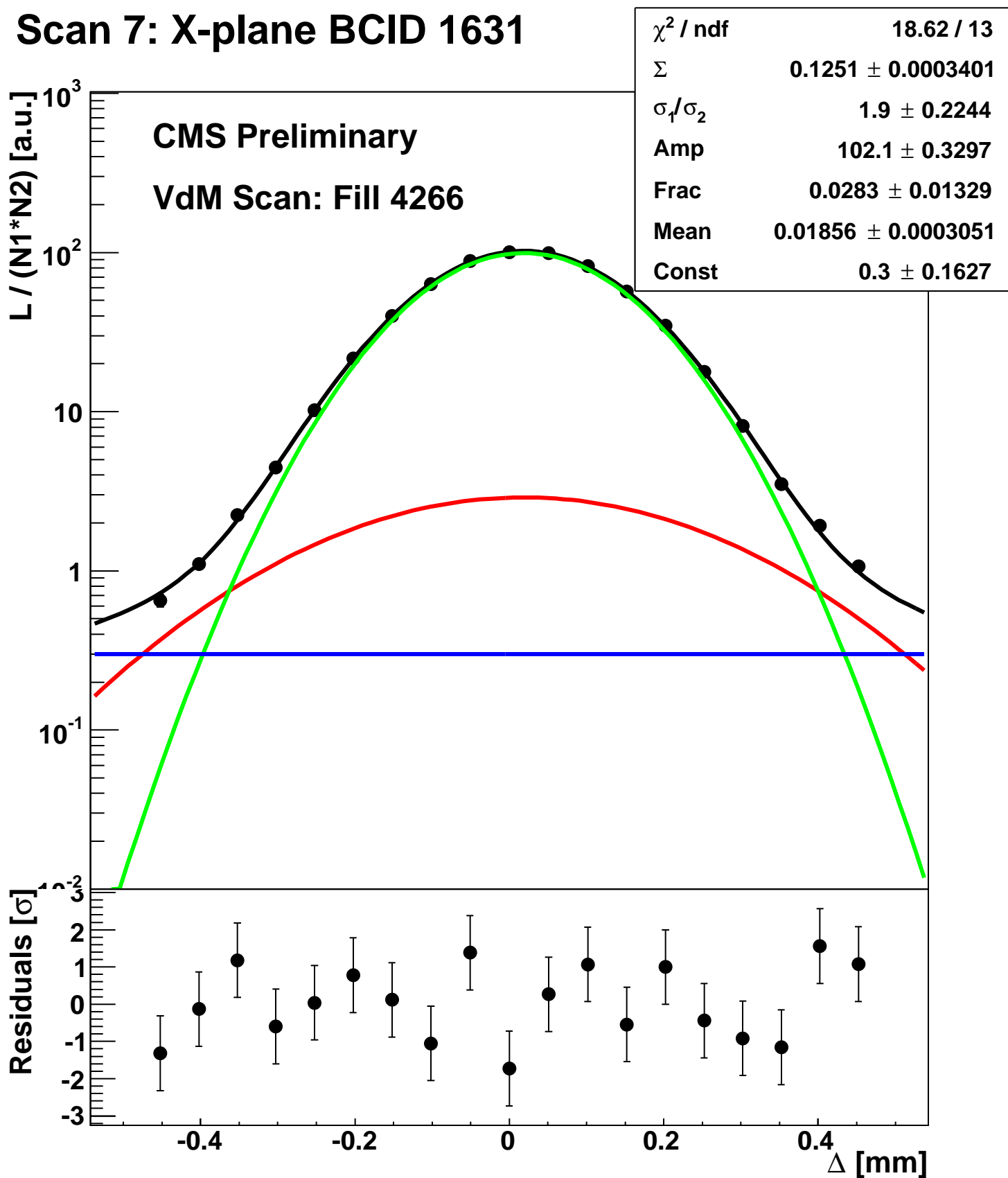
Scan 6: Y-plane BCID 771



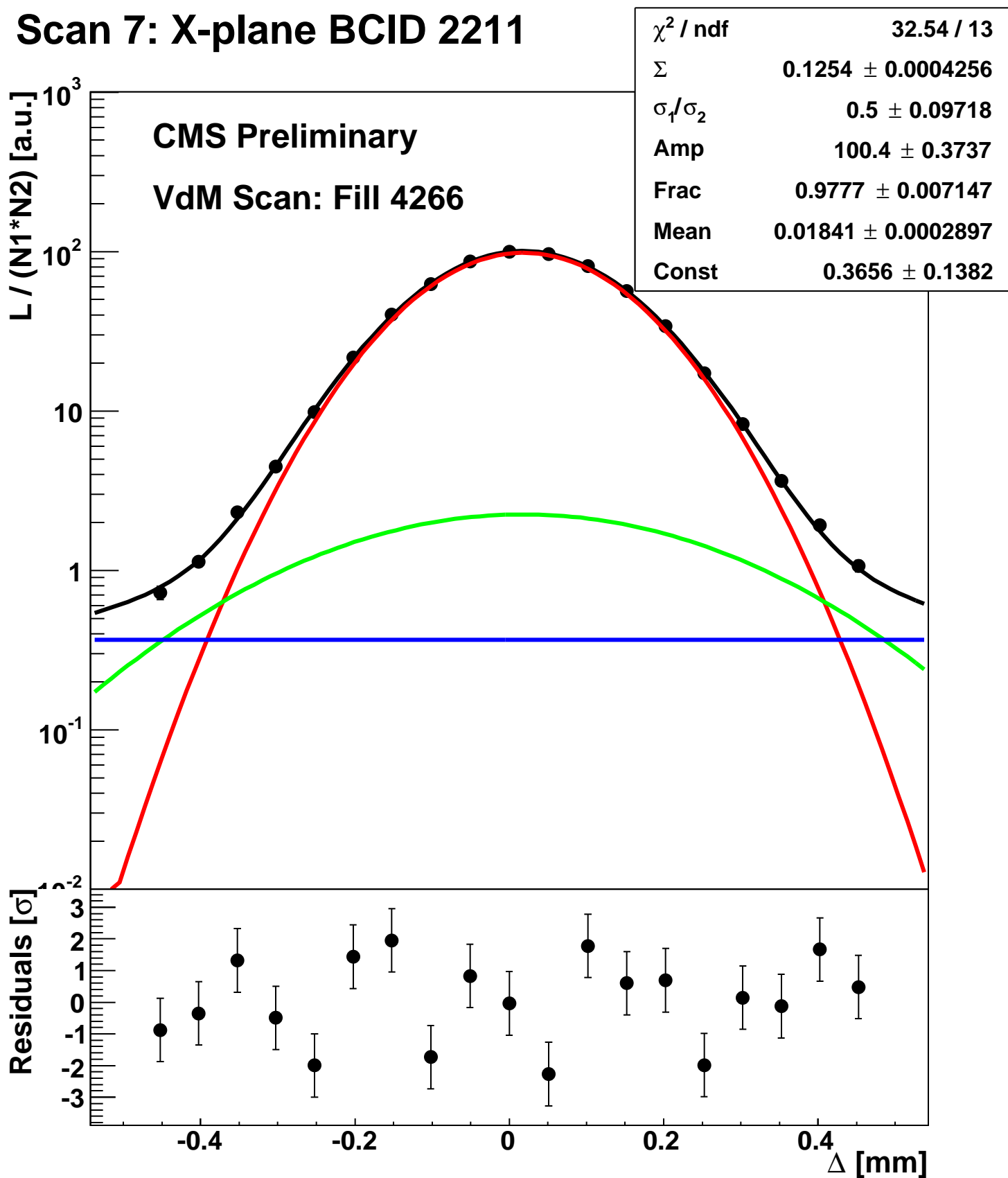
Scan 6: Y-plane BCID sum



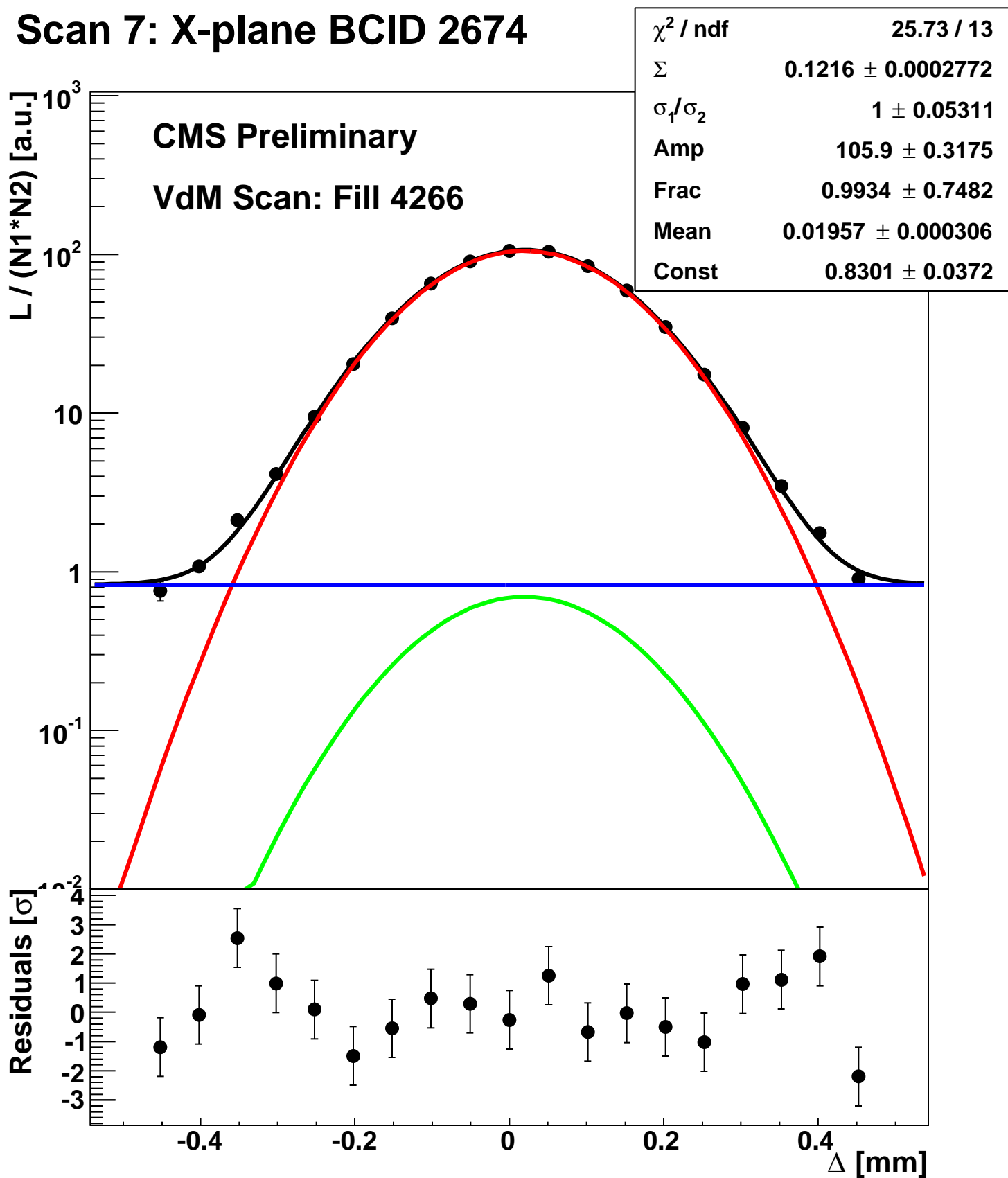
Scan 7: X-plane BCID 1631



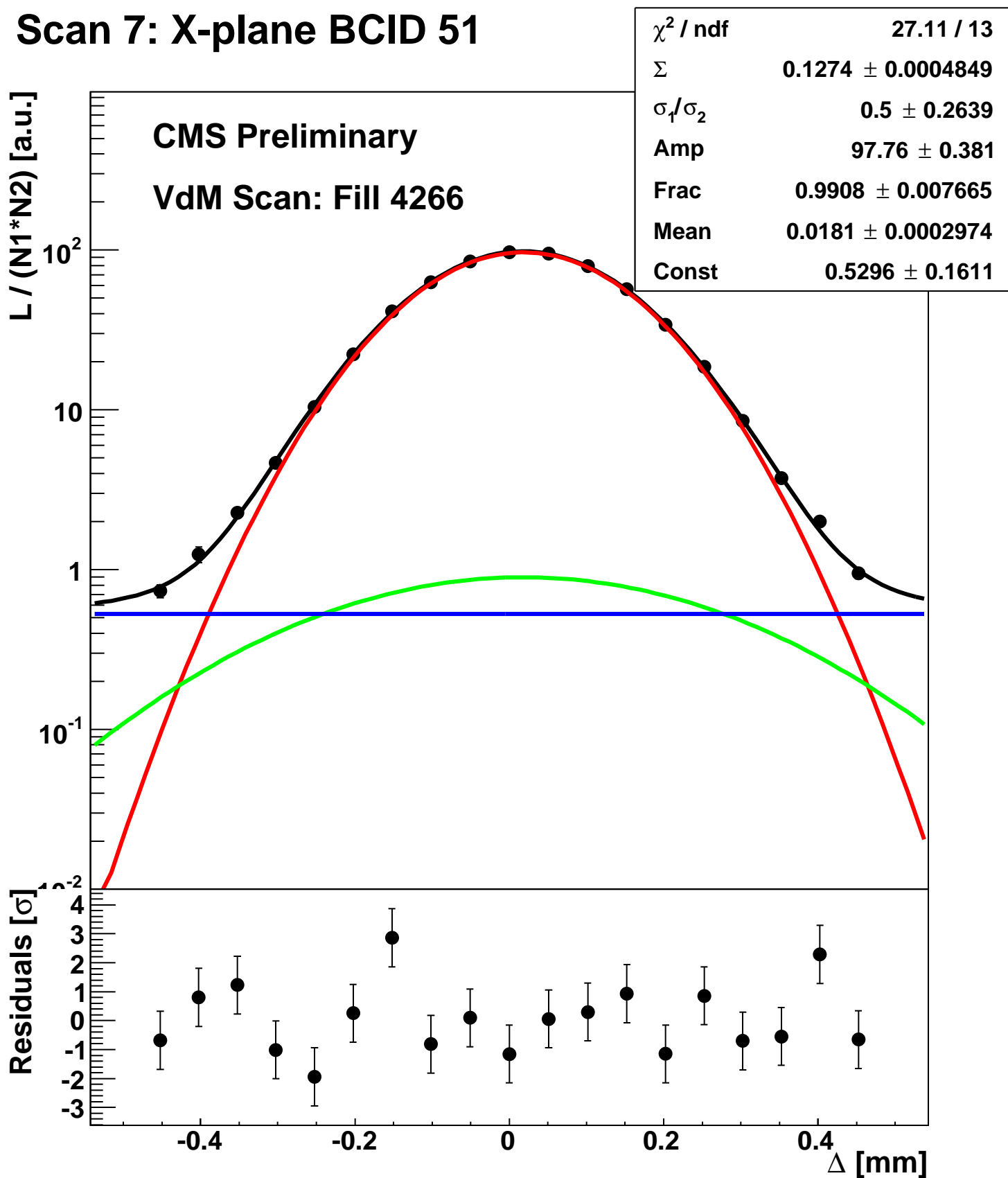
Scan 7: X-plane BCID 2211



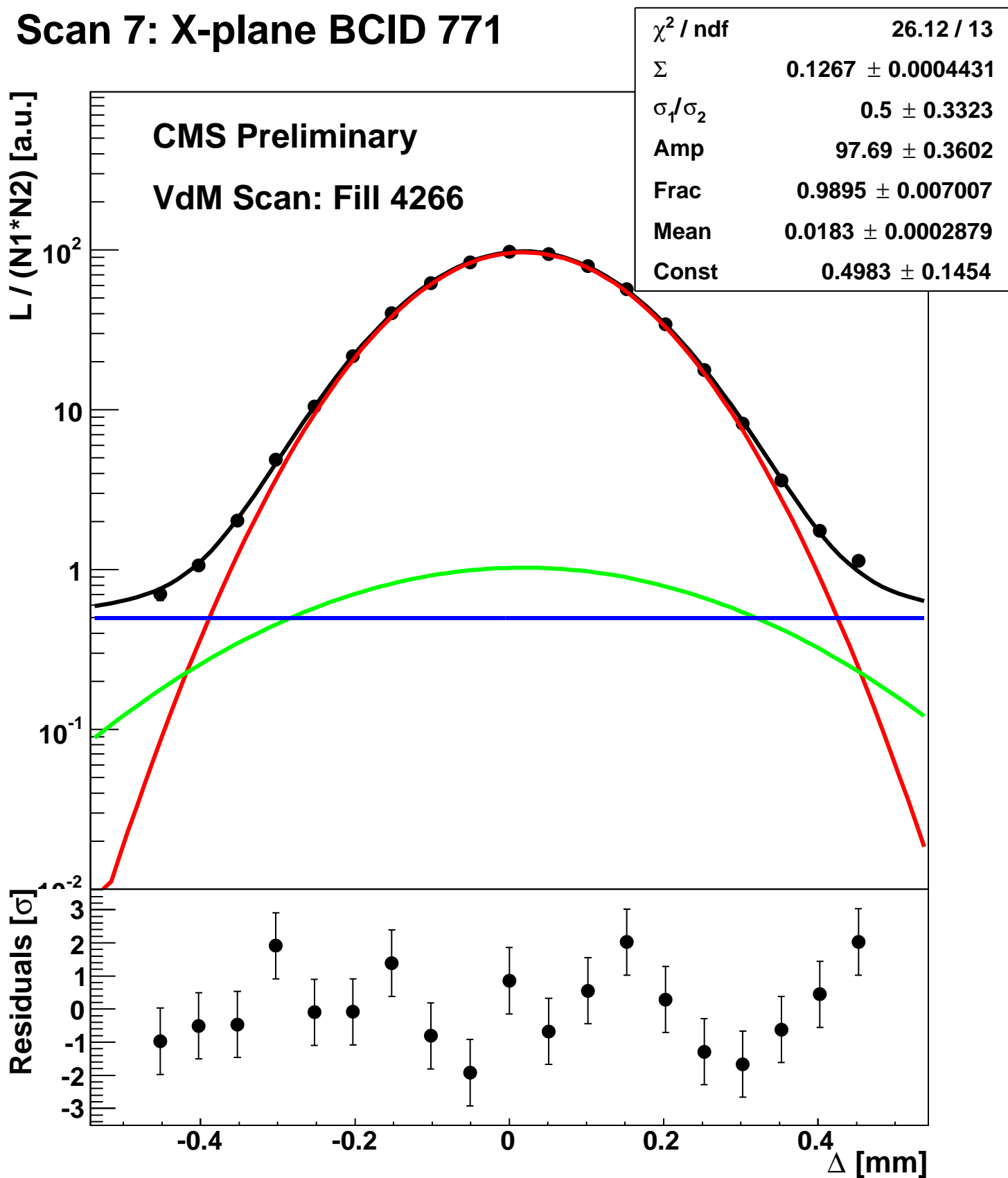
Scan 7: X-plane BCID 2674



Scan 7: X-plane BCID 51

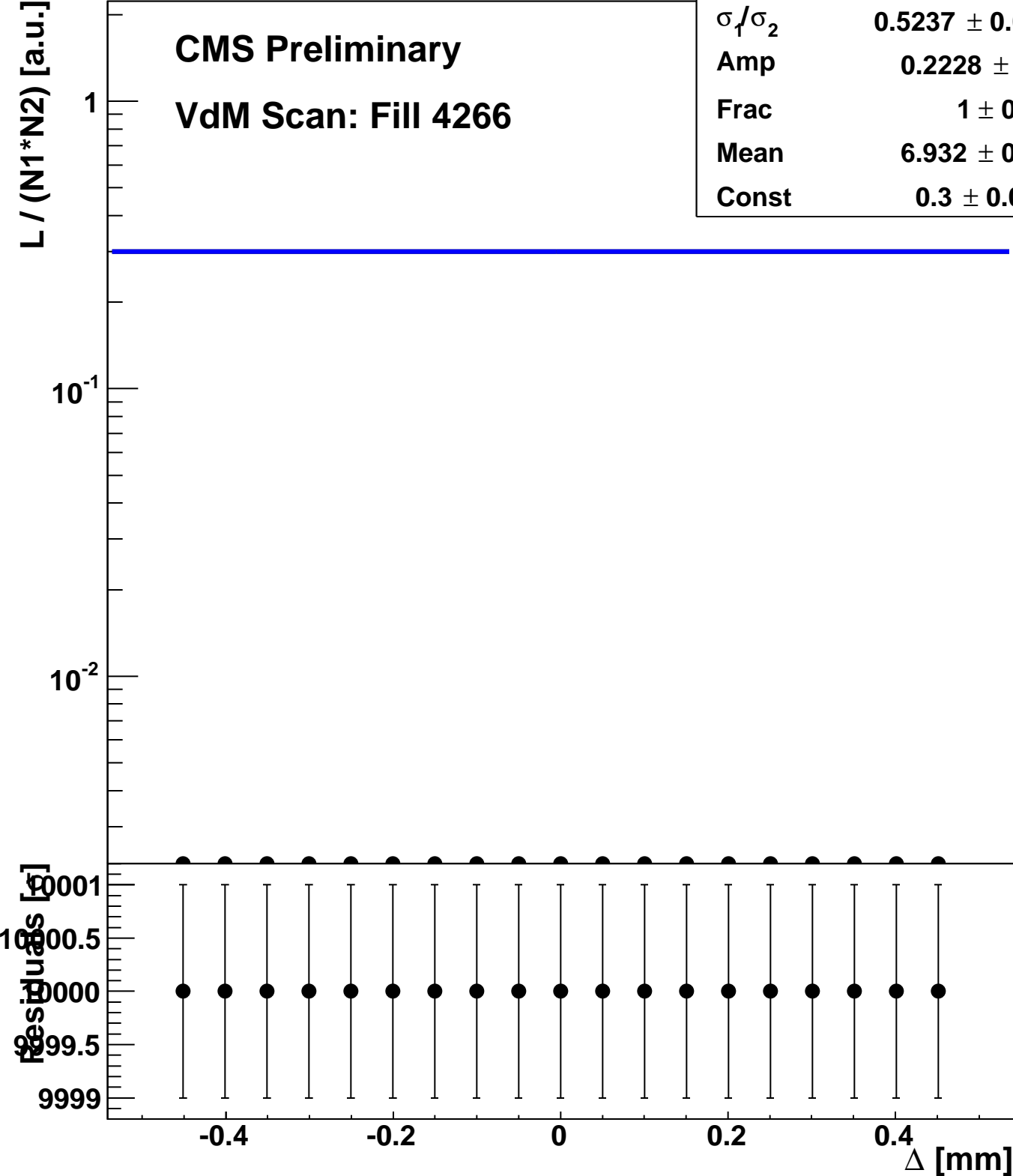


Scan 7: X-plane BCID 771

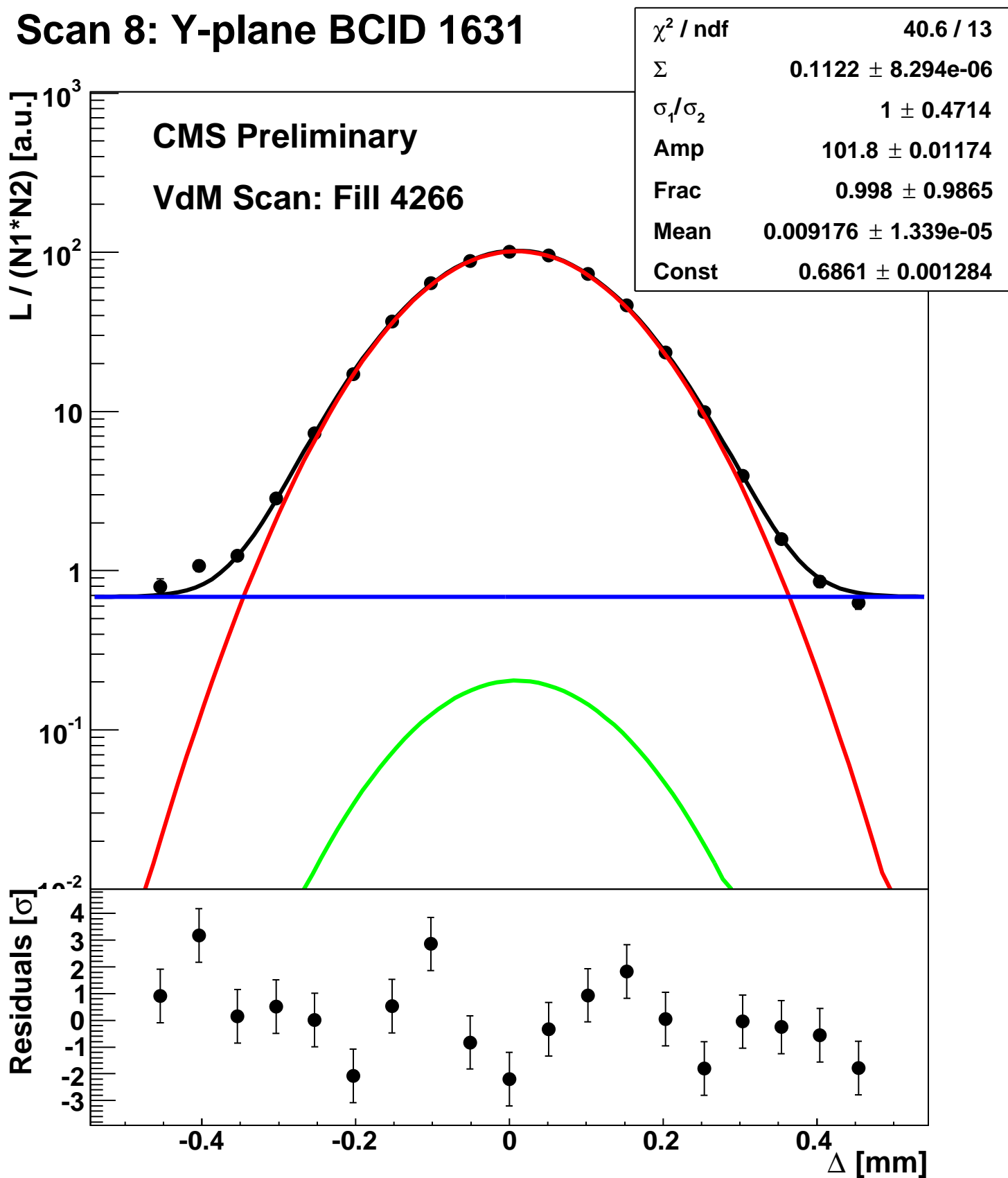


Scan 7: X-plane BCID sum

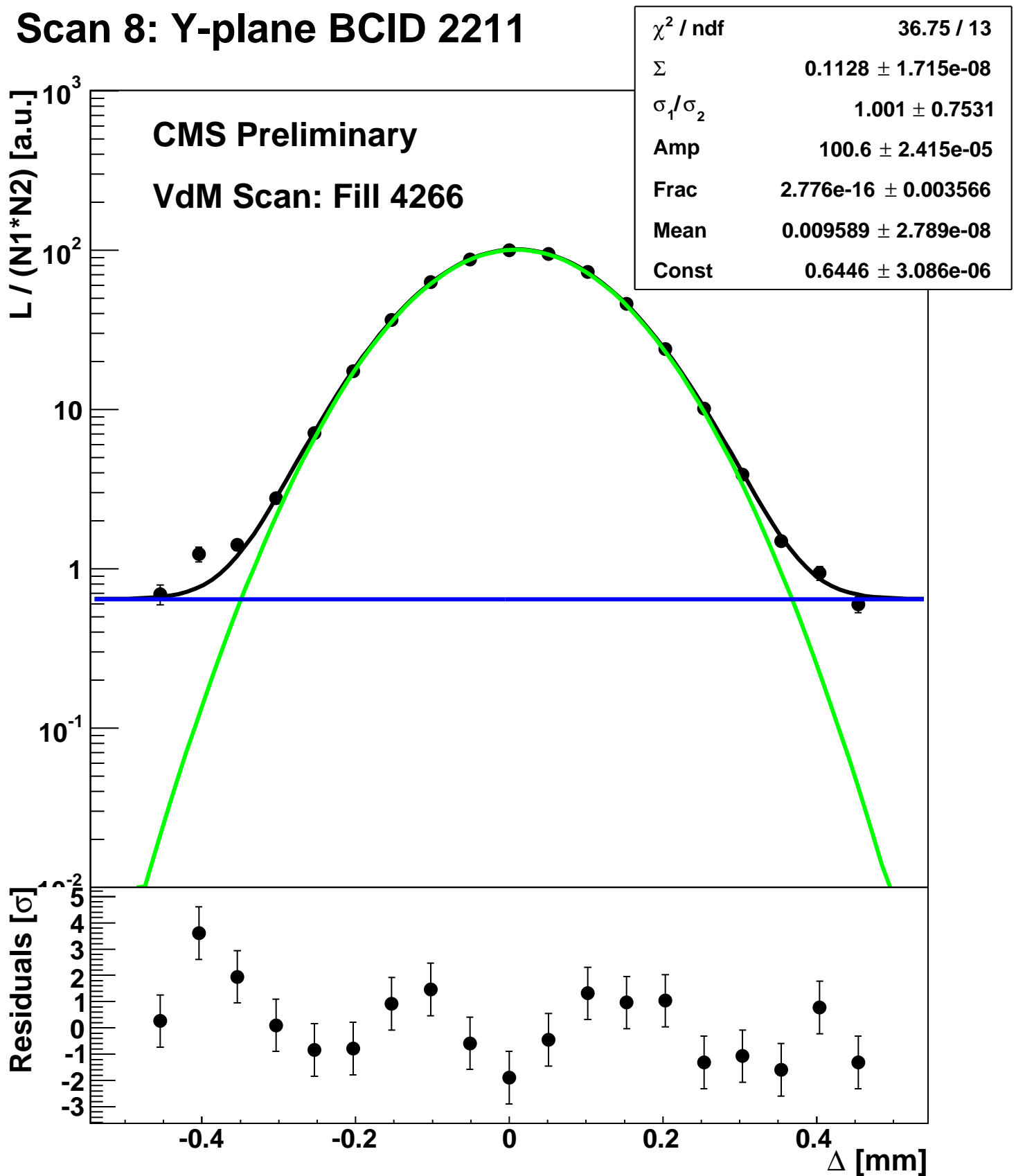
χ^2 / ndf	1.71 / 13
Σ	-0.01323 \pm 6479
σ_1 / σ_2	0.5237 \pm 0.08571
Amp	0.2228 \pm 1.339
Frac	1 \pm 0.2586
Mean	6.932 \pm 0.5129
Const	0.3 \pm 0.03067



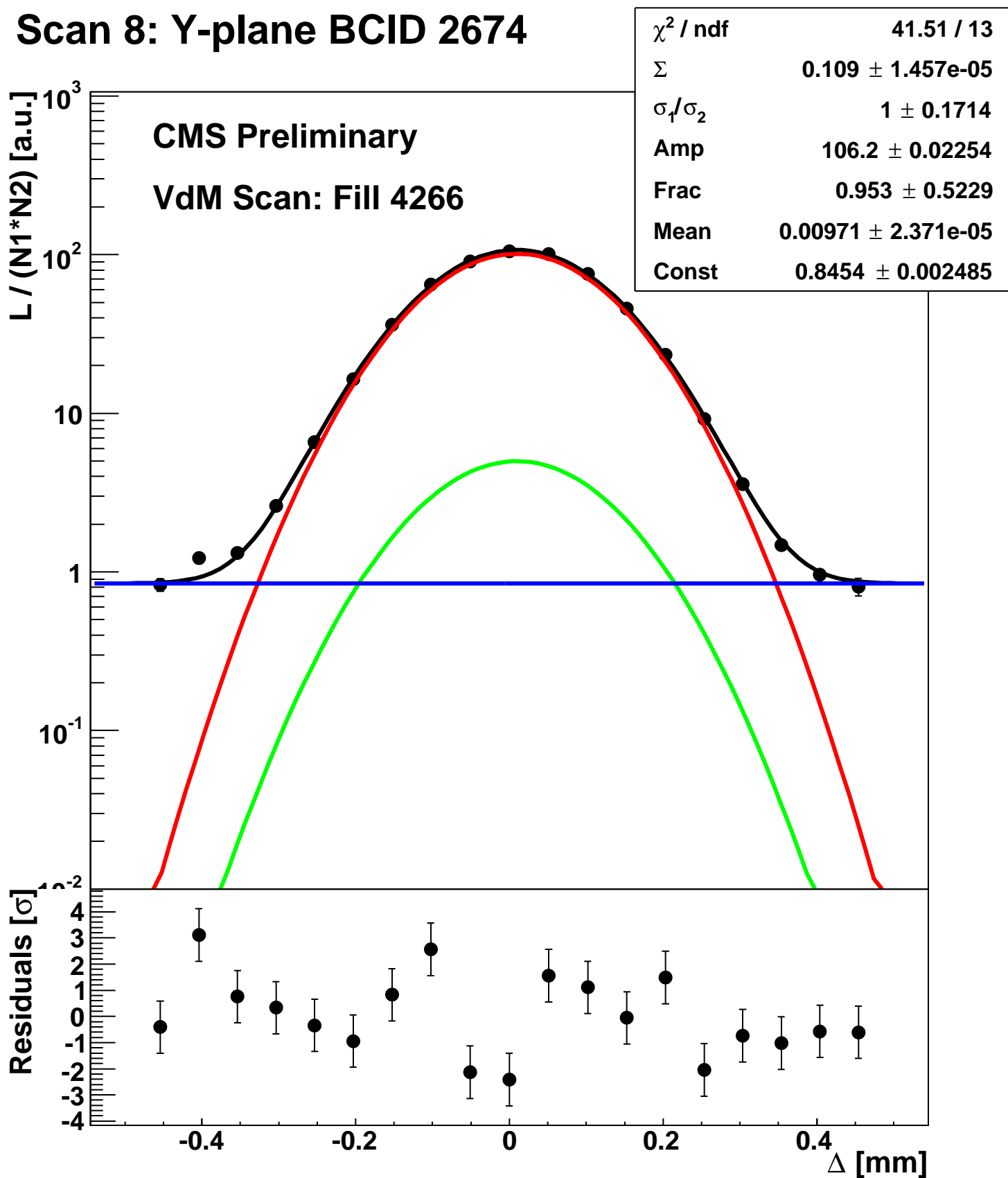
Scan 8: Y-plane BCID 1631



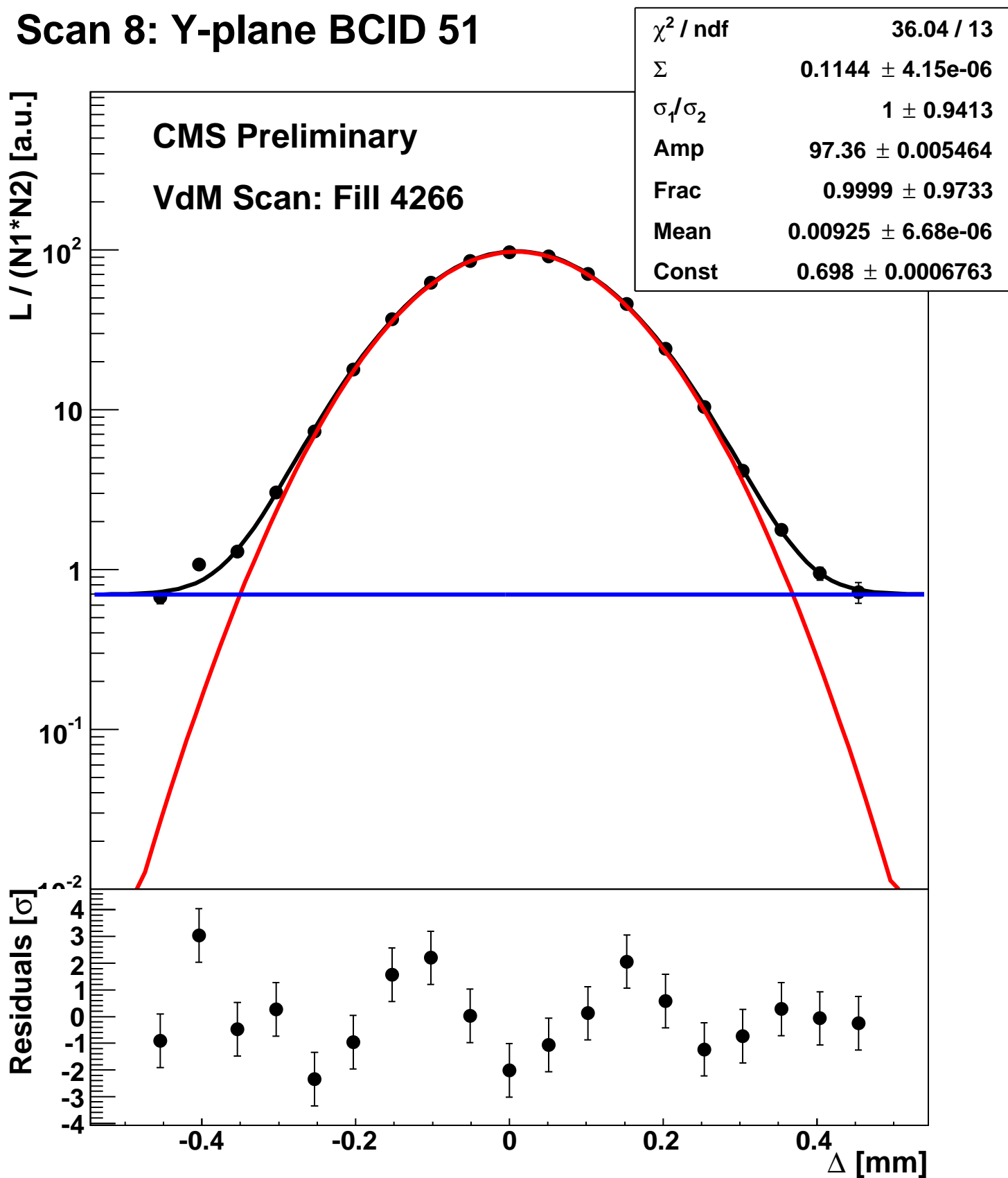
Scan 8: Y-plane BCID 2211



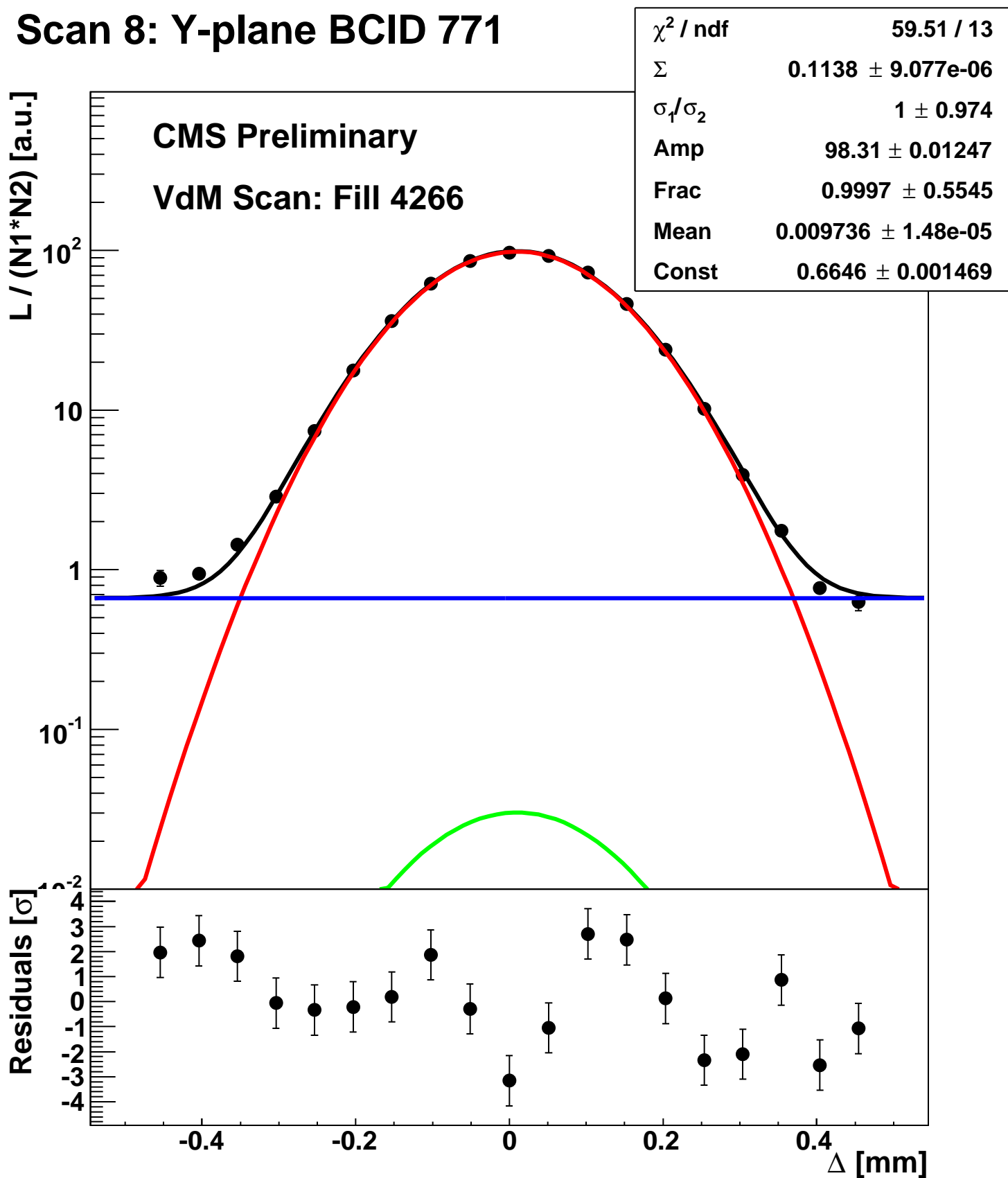
Scan 8: Y-plane BCID 2674



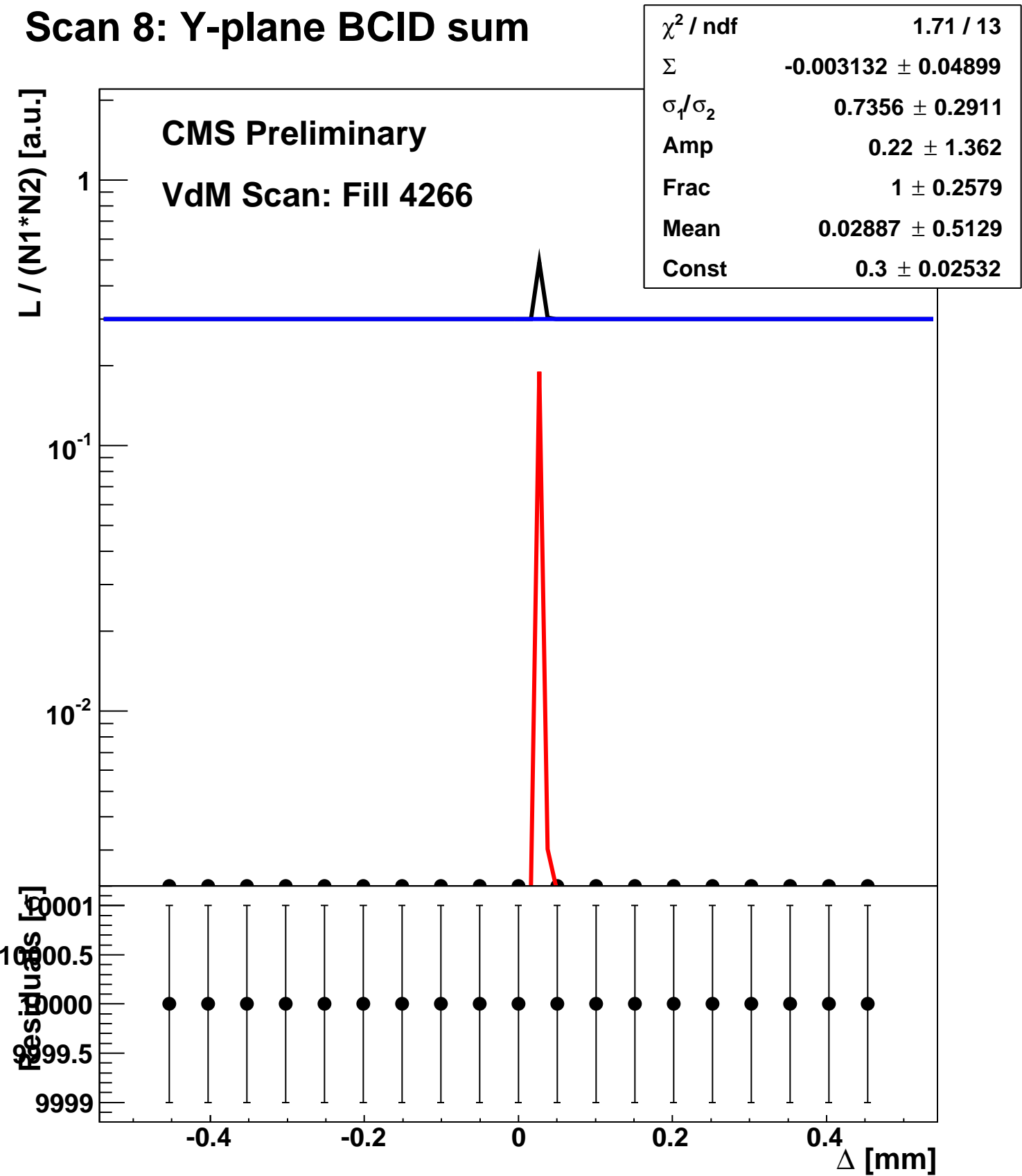
Scan 8: Y-plane BCID 51



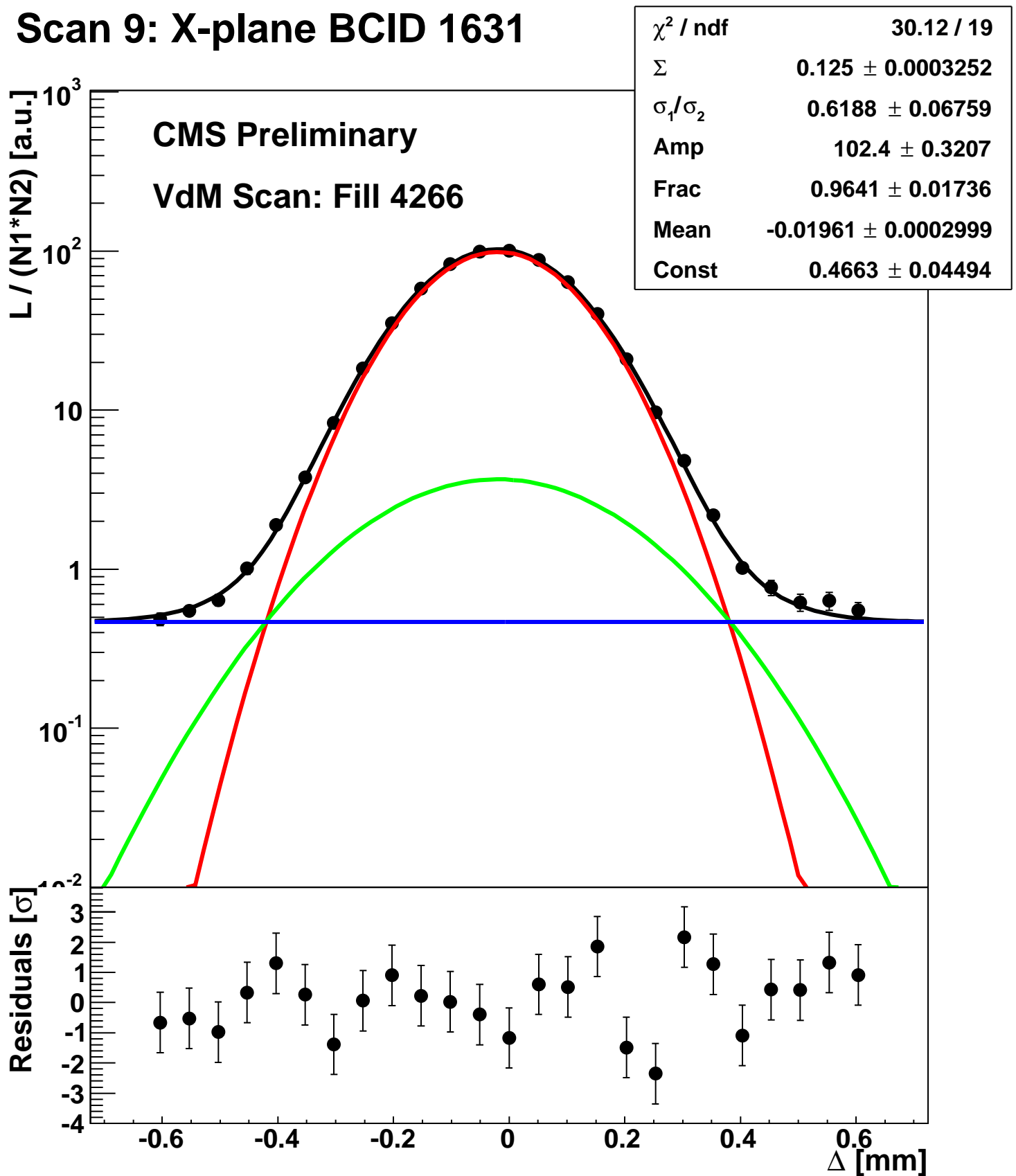
Scan 8: Y-plane BCID 771



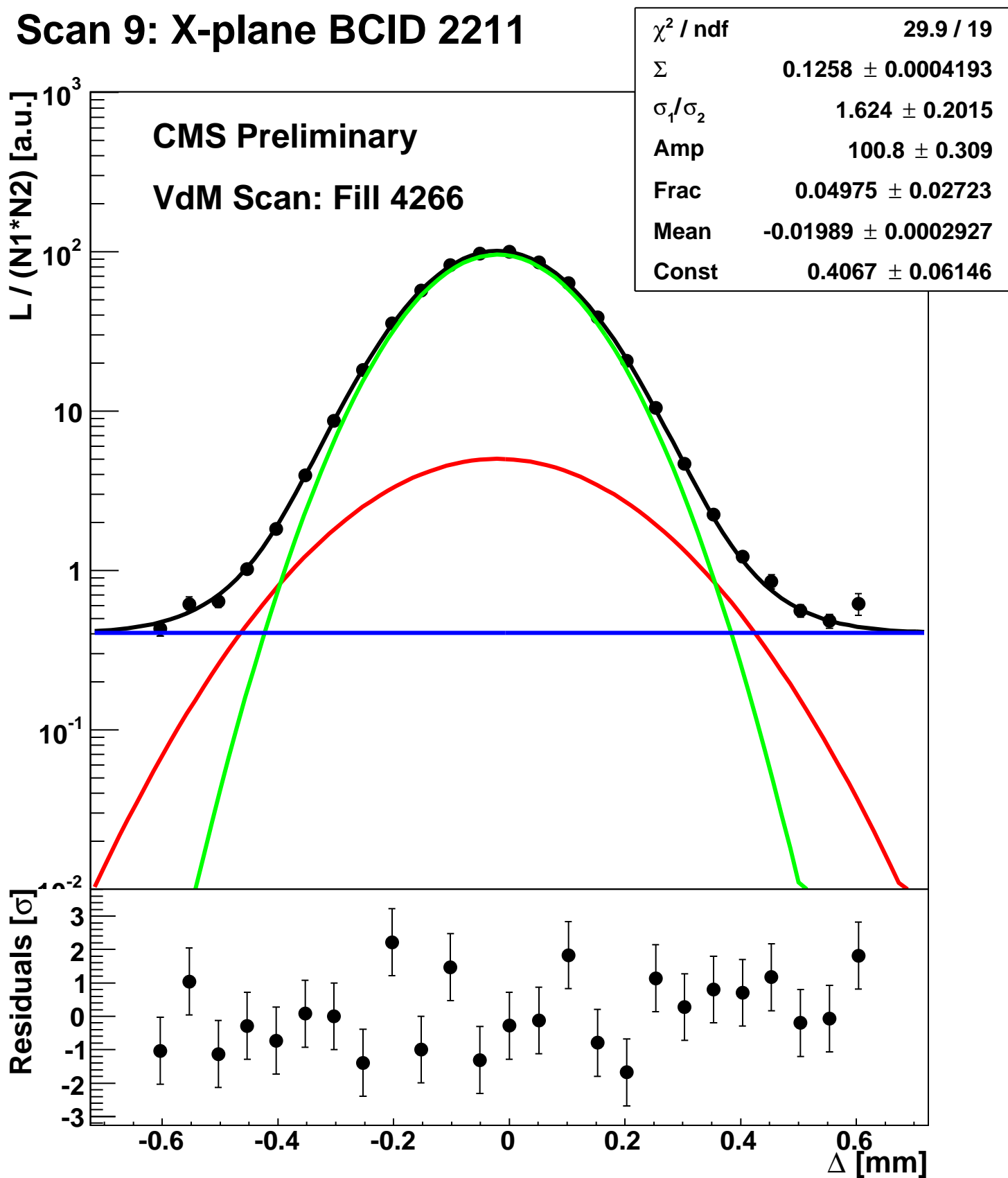
Scan 8: Y-plane BCID sum



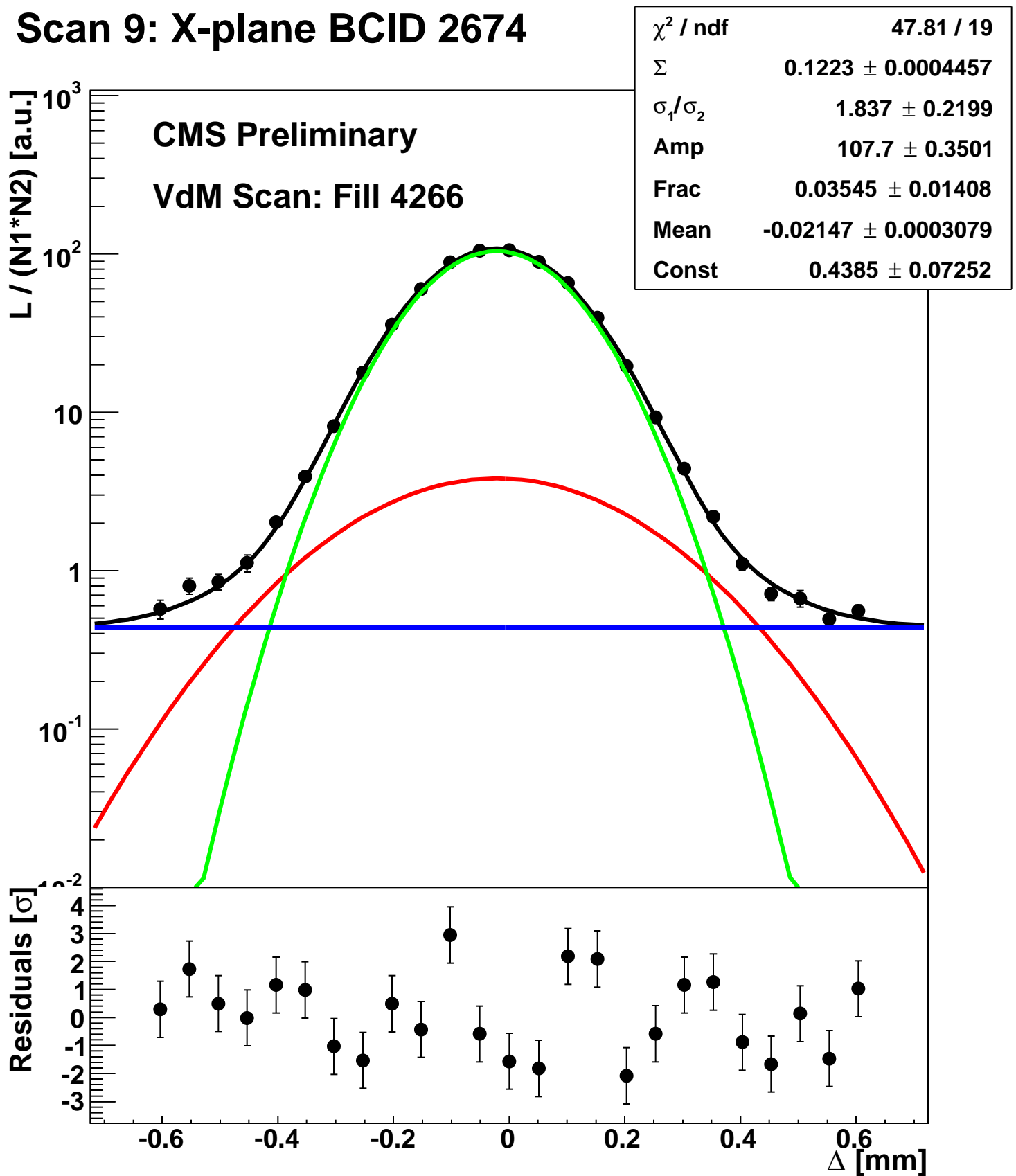
Scan 9: X-plane BCID 1631



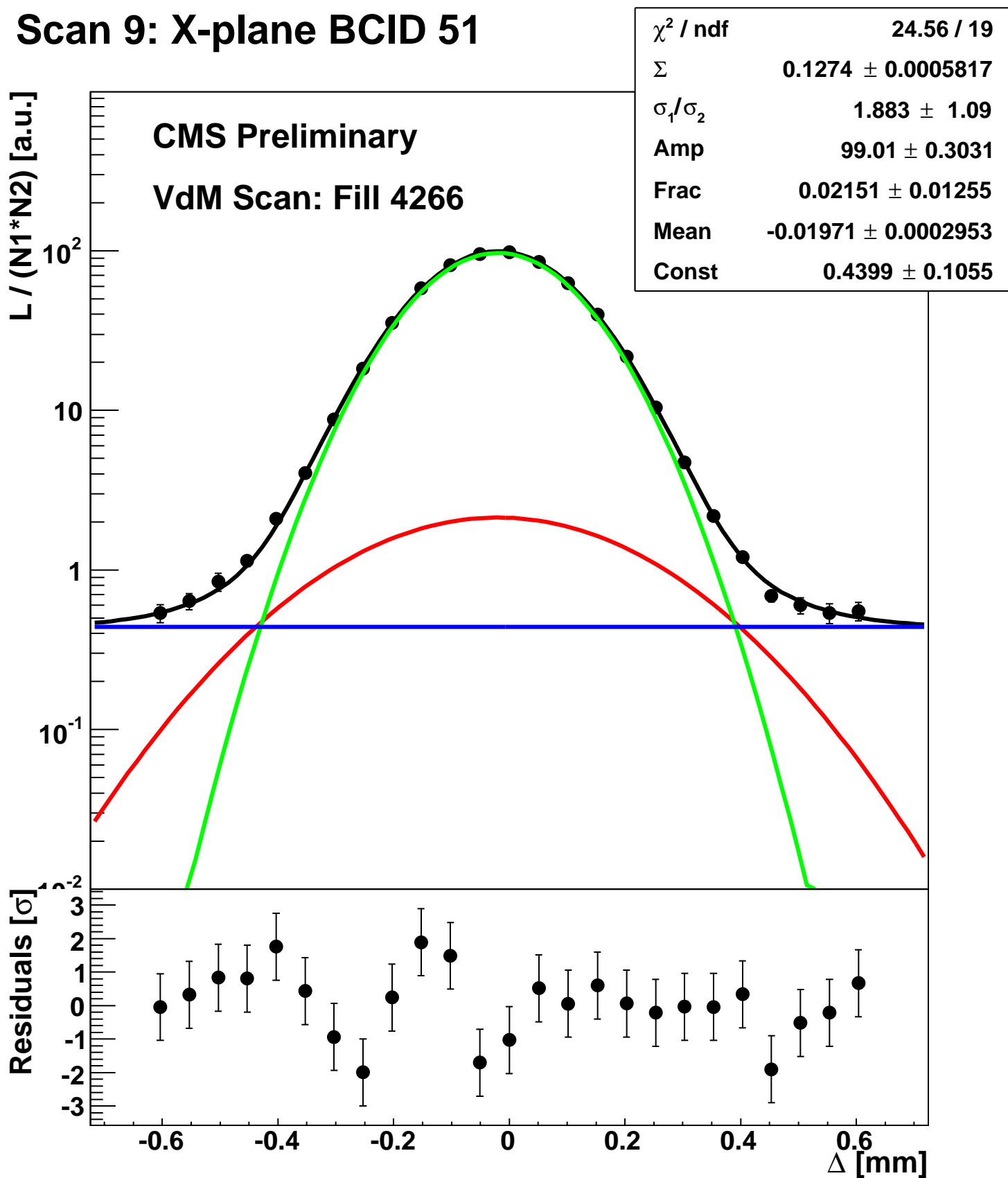
Scan 9: X-plane BCID 2211



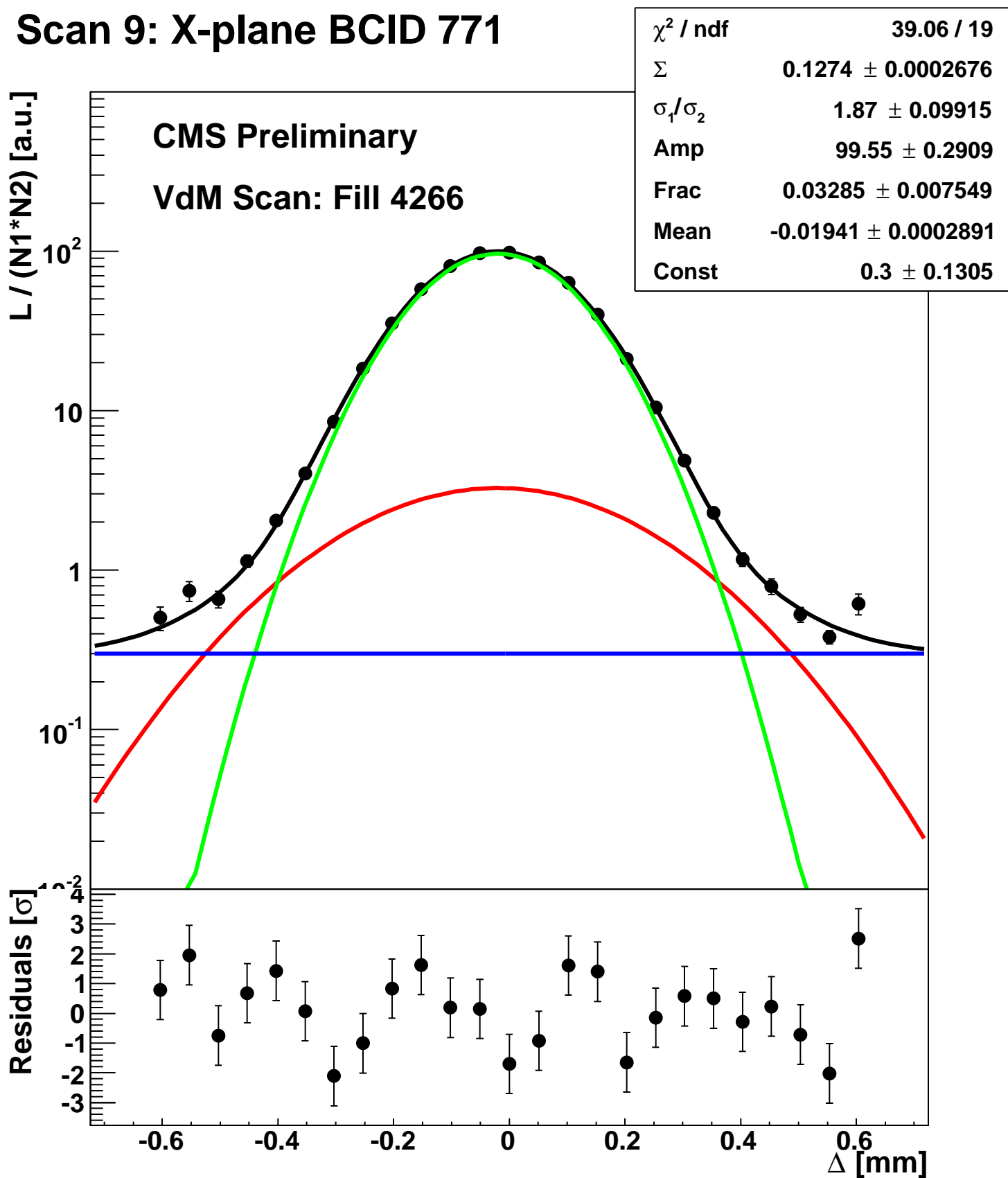
Scan 9: X-plane BCID 2674



Scan 9: X-plane BCID 51



Scan 9: X-plane BCID 771



Scan 9: X-plane BCID sum

